

Bild 1: PE-HD Dichtungsbahn, Einlagerung in PF 1, Masseänderung

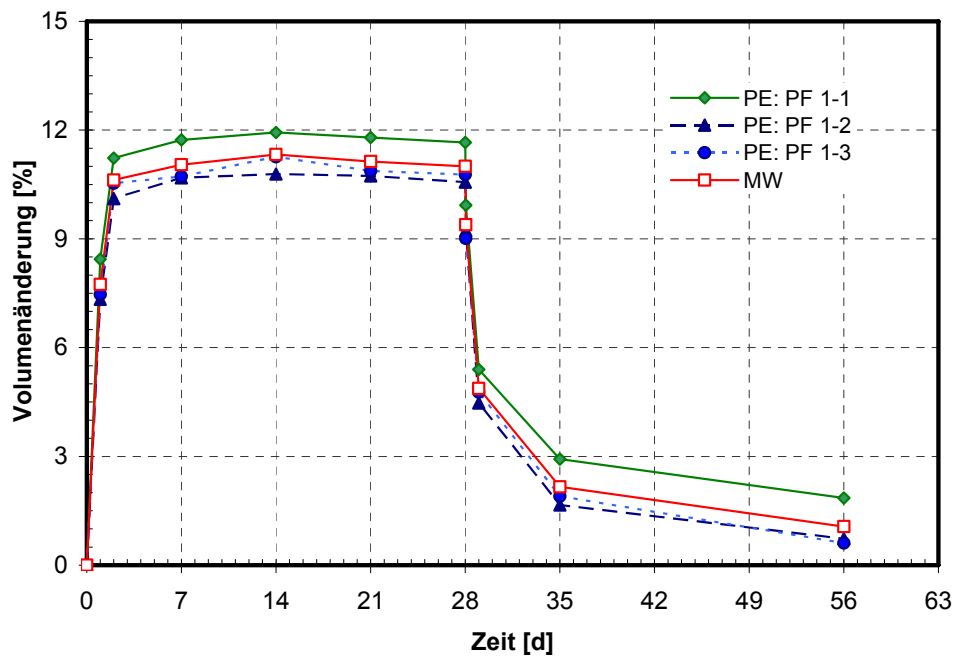


Bild 2: PE-HD Dichtungsbahn, Einlagerung in PF 1, Volumenänderung

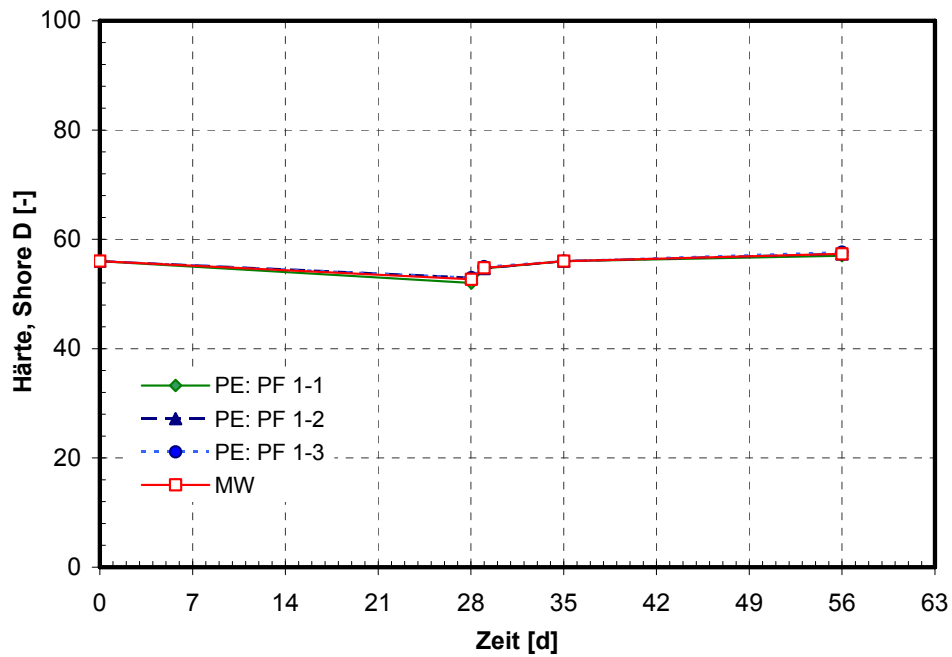


Bild 3: PE-HD Dichtungsbahn, Einlagerung in PF 1, Härteänderung (Shore-Einheiten)

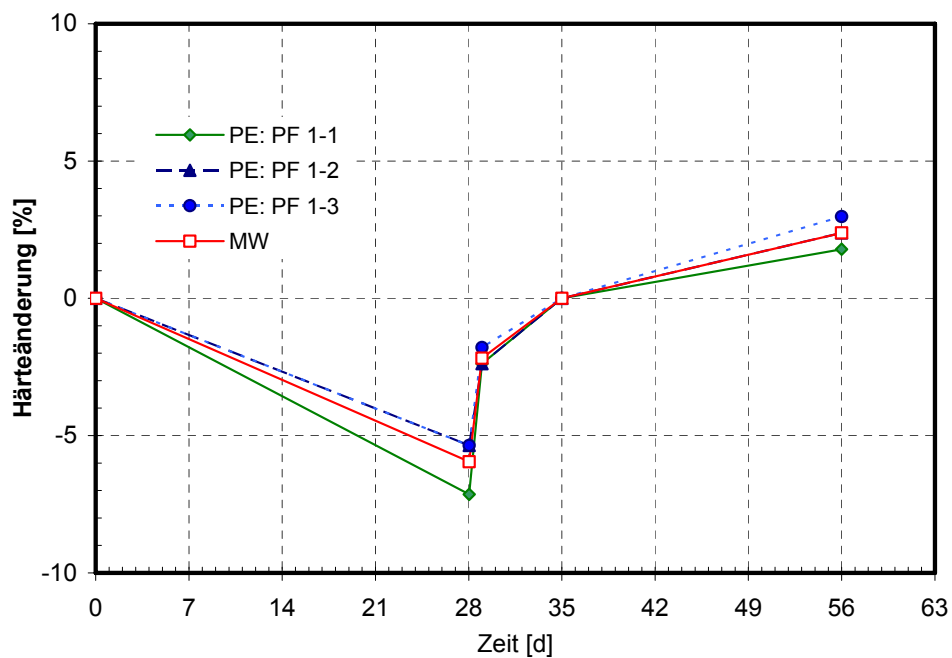


Bild 4: PE-HD Dichtungsbahn, Einlagerung in PF 1, Härteänderung, bezogen auf die bei 23 °C, 50 % r. F. gelagerte Probe

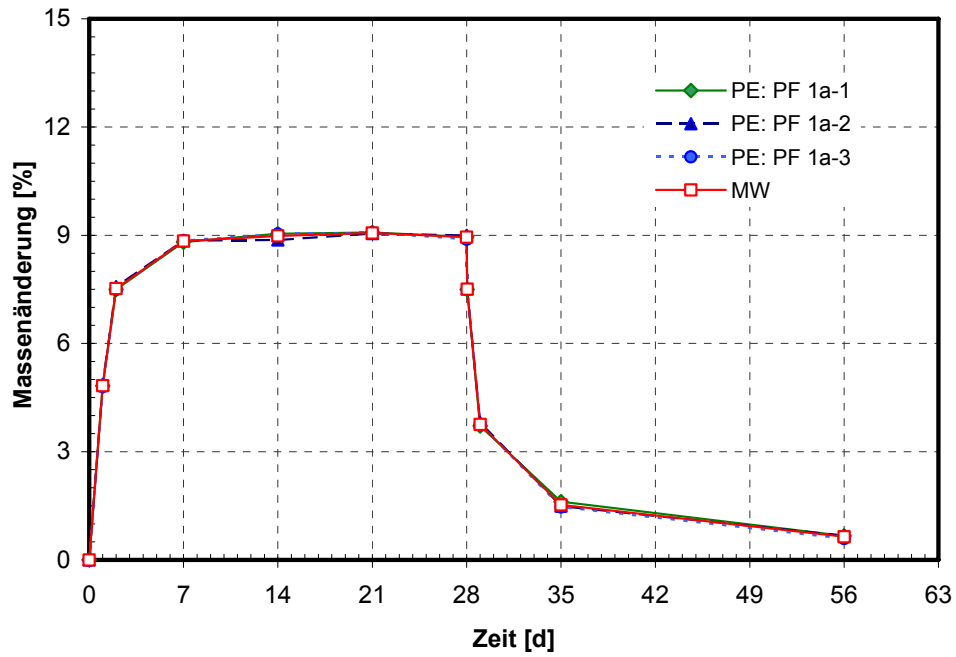


Bild 5: PE-HD Dichtungsbahn, Einlagerung in PF 1a, Masseänderung

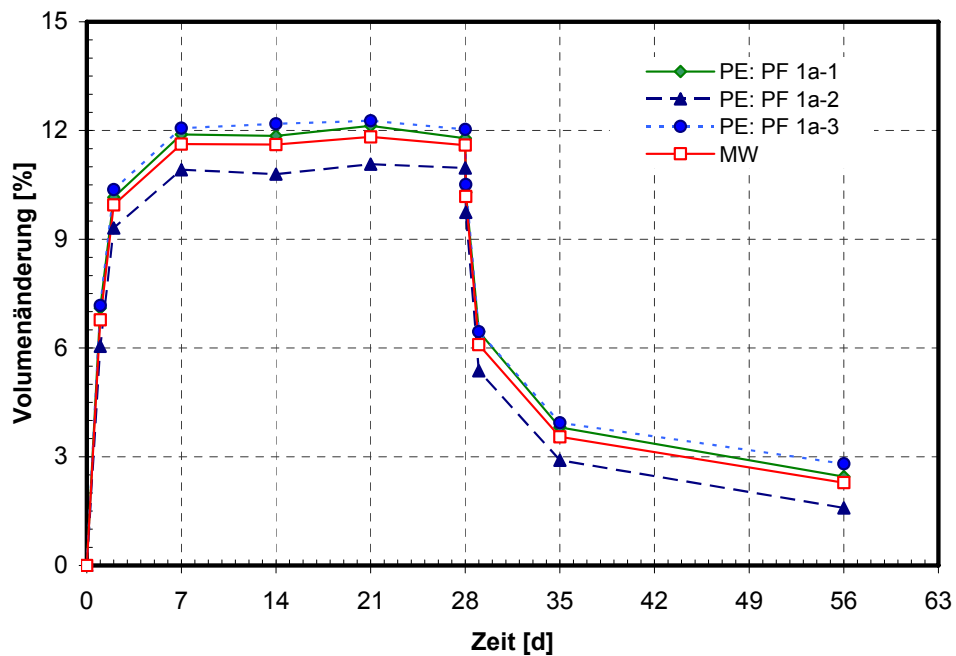


Bild 6: PE-HD Dichtungsbahn, Einlagerung in PF 1a, Volumenänderung

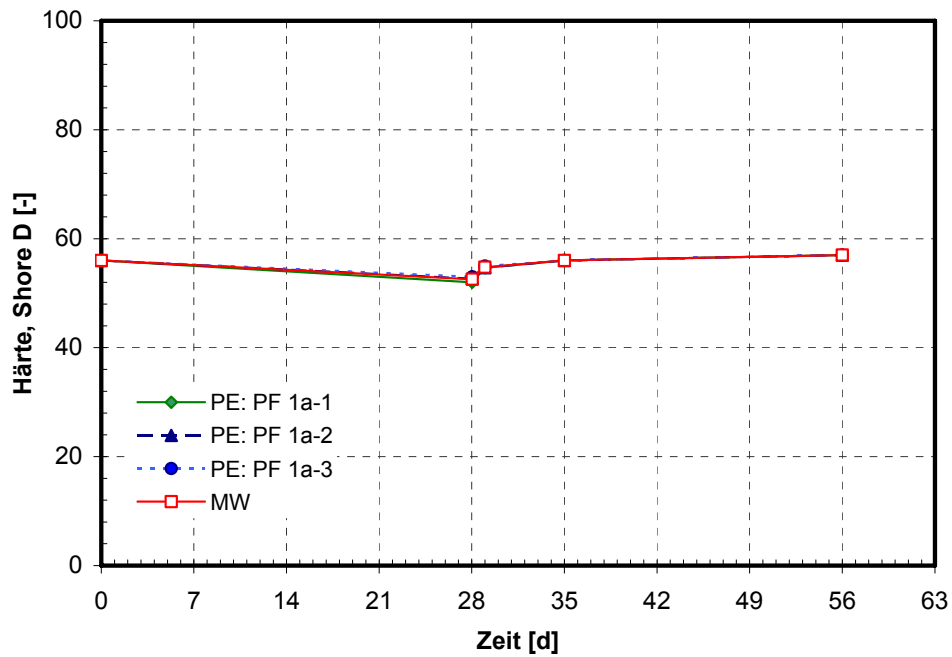


Bild 7: PE-HD Dichtungsbahn, Einlagerung in PF 1a, Härteänderung (Shore-Einheiten)

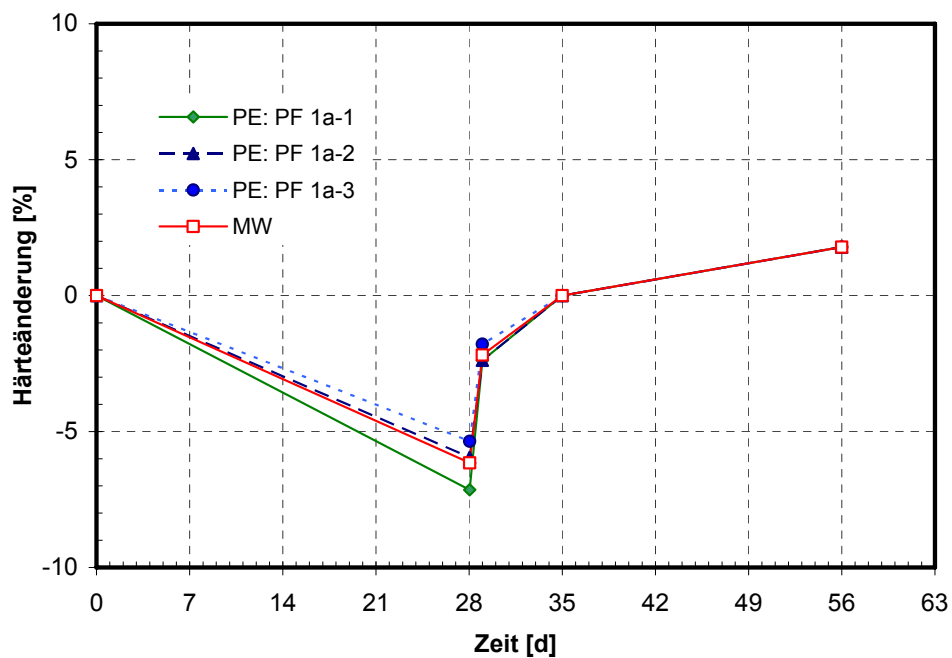


Bild 8: PE-HD Dichtungsbahn, Einlagerung in PF 1a, Härteänderung, bezogen auf die bei 23 °C, 50 % r. F. gelagerte Probe

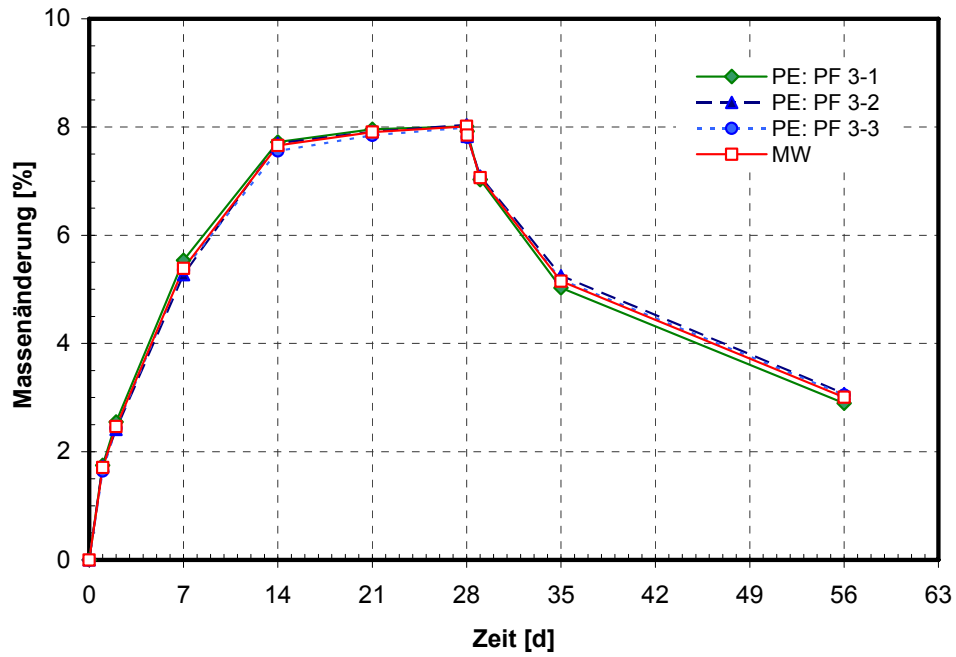


Bild 9: PE-HD Dichtungsbahn, Einlagerung in PF 3, Masseänderung

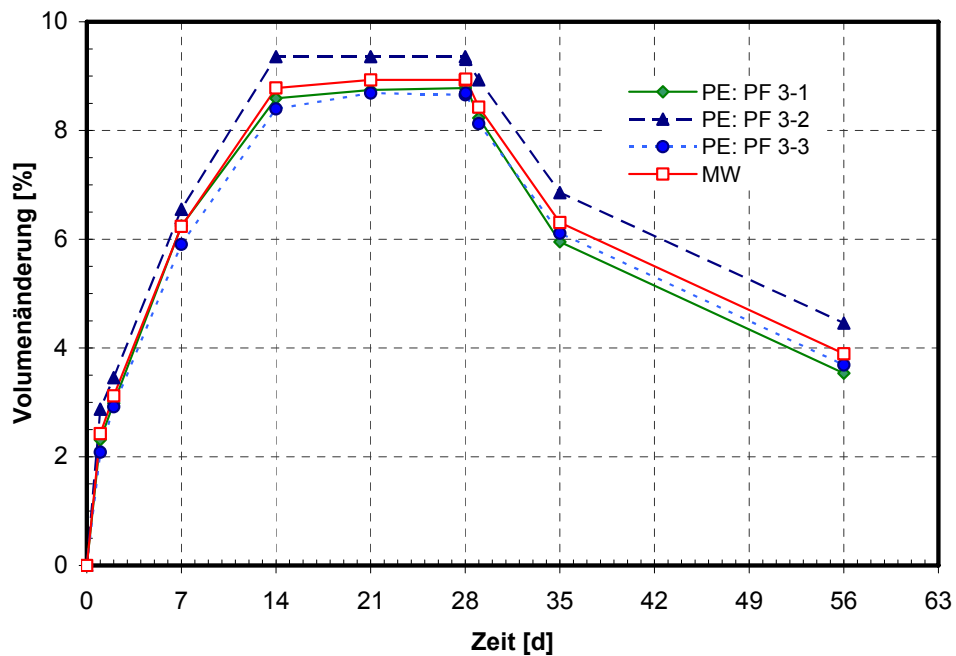


Bild 10: PE-HD Dichtungsbahn, Einlagerung in PF 3, Volumenänderung

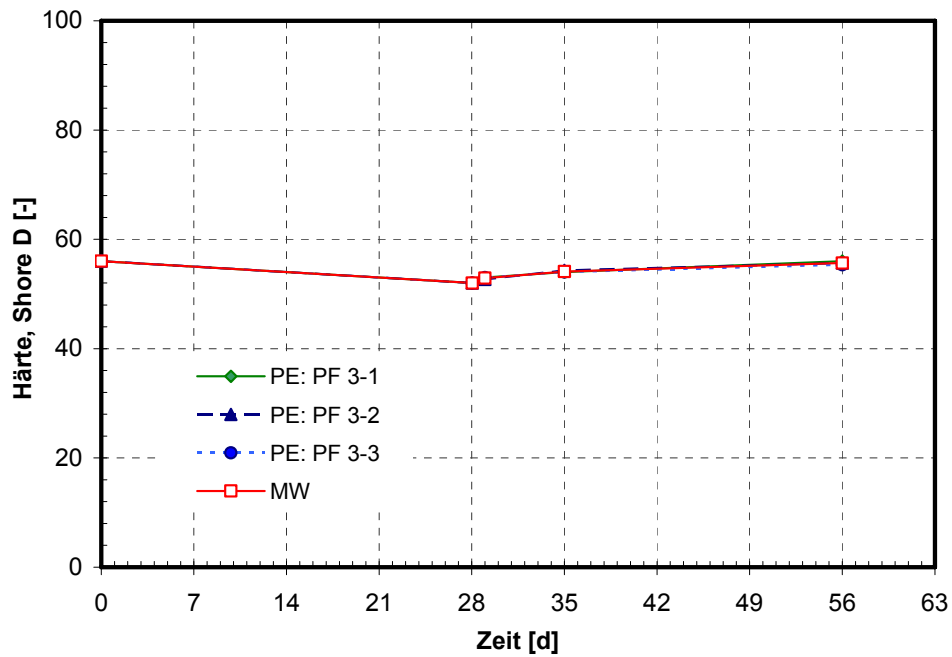


Bild 11: PE-HD Dichtungsbahn, Einlagerung in PF 3, Härteänderung (Shore-Einheiten)

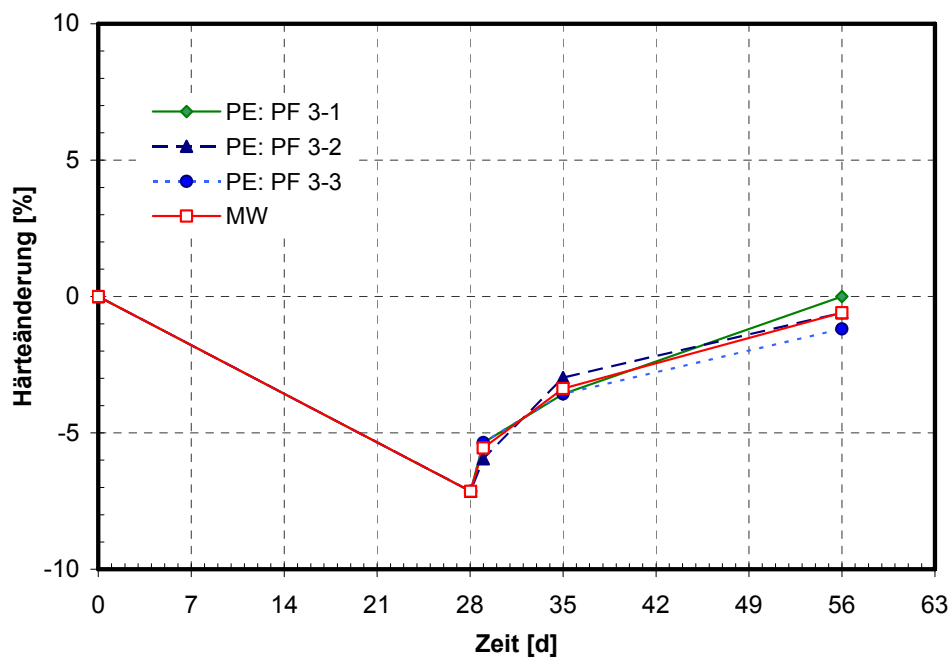


Bild 12: PE-HD Dichtungsbahn, Einlagerung in PF 3, Härteänderung, bezogen auf die bei 23 °C, 50 % r. F. gelagerte Probe

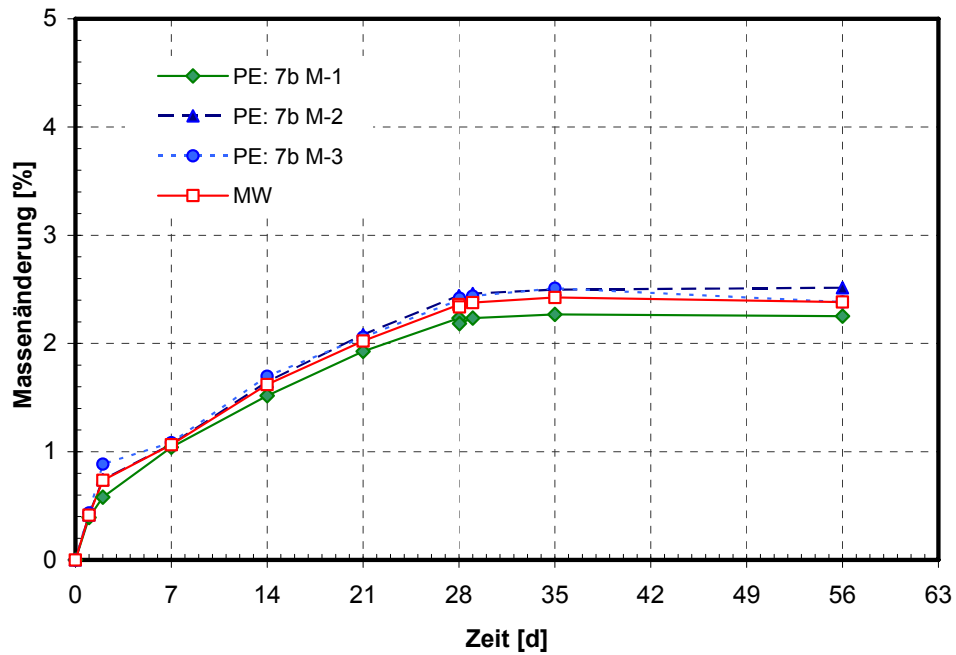


Bild 13: PE-HD Dichtungsbahn, Einlagerung in 7b M, Masseänderung

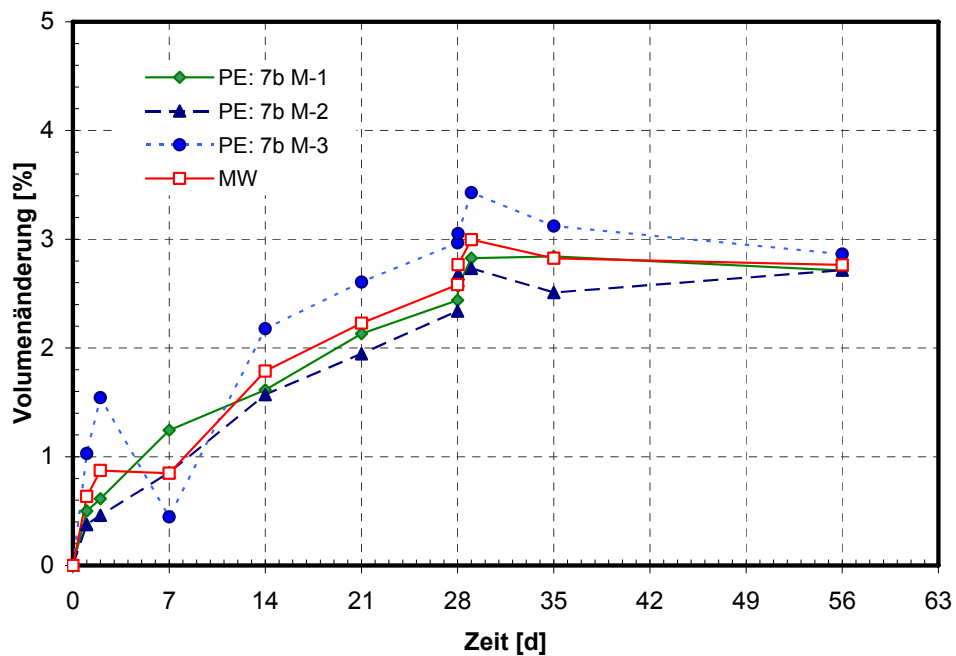


Bild 14: PE-HD Dichtungsbahn, Einlagerung in 7b M, Volumenänderung

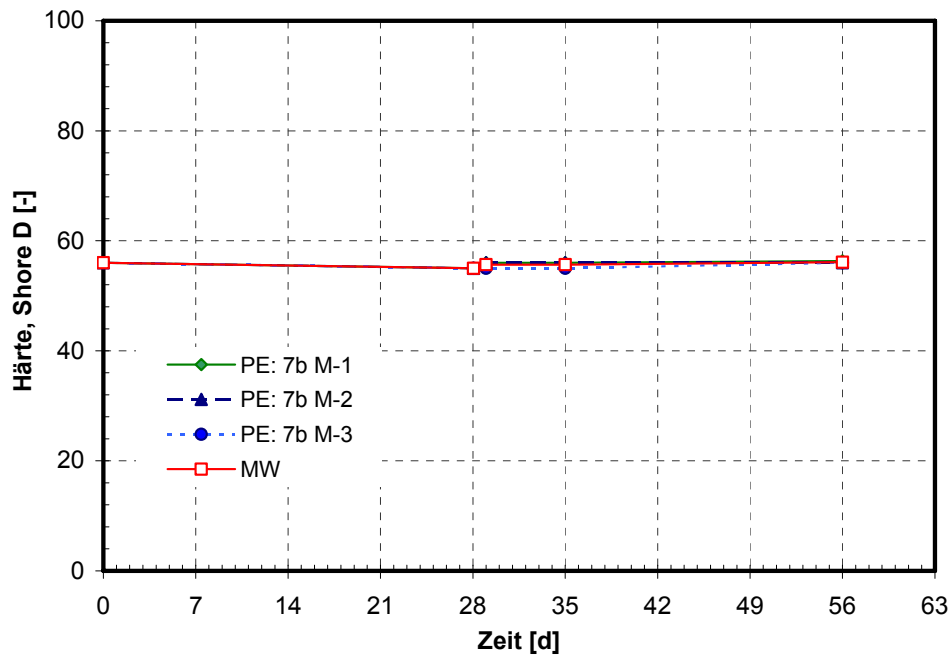


Bild 15: PE-HD Dichtungsbahn, Einlagerung in 7b M, Härteänderung (Shore-Einheiten)

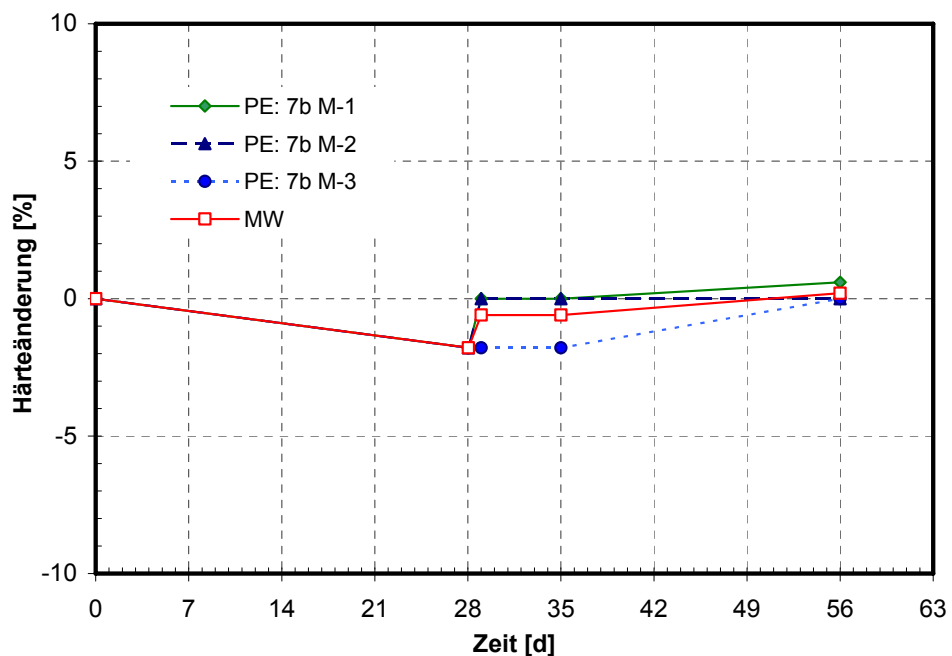


Bild 16: PE-HD Dichtungsbahn, Einlagerung in 7b M, Härteänderung, bezogen auf die bei 23 °C, 50 % r. F. gelagerte Probe



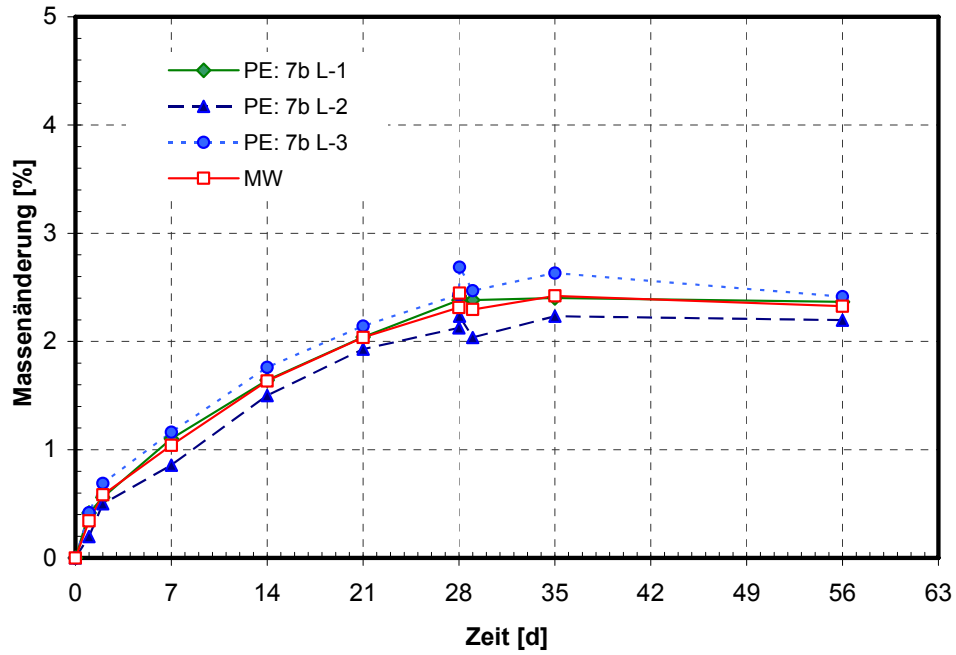


Bild 17: PE-HD Dichtungsbahn, Einlagerung in 7b L, Masseänderung

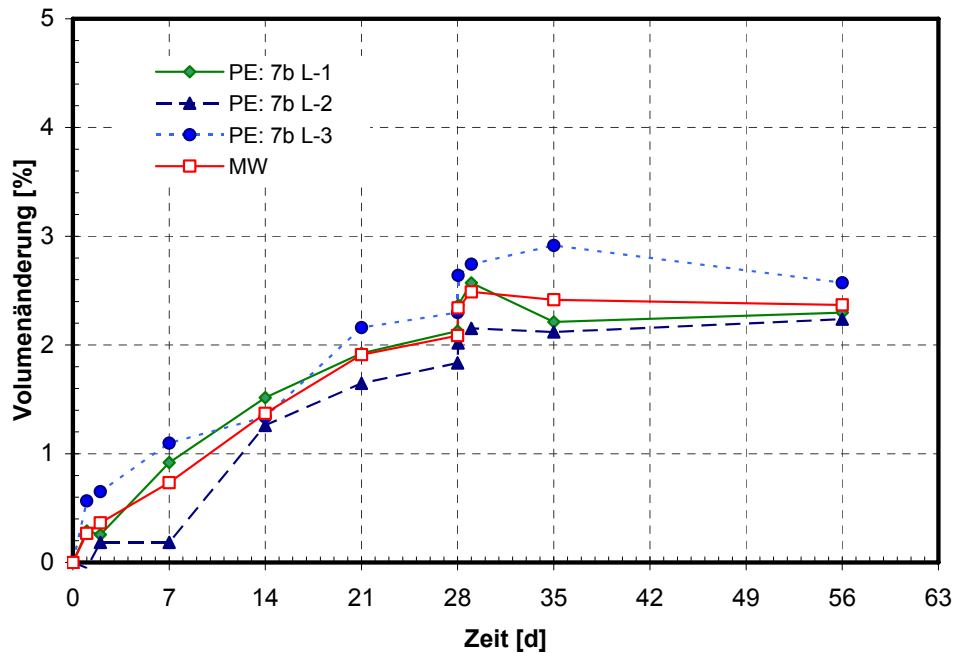


Bild 18: PE-HD Dichtungsbahn, Einlagerung in 7b L, Volumenänderung

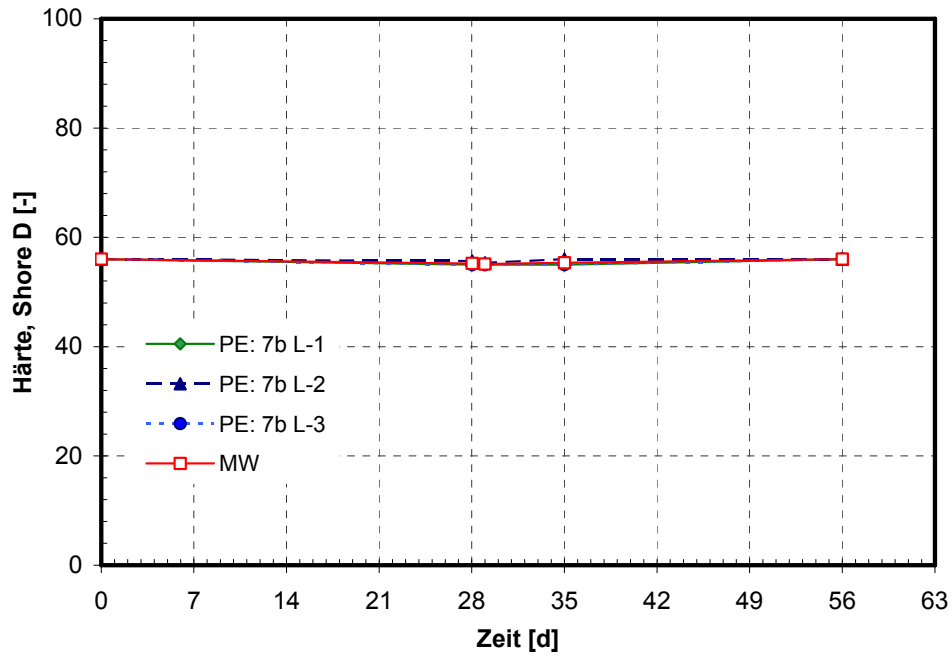


Bild 19: PE-HD Dichtungsbahn, Einlagerung in 7b L, Härteänderung (Shore-Einheiten)

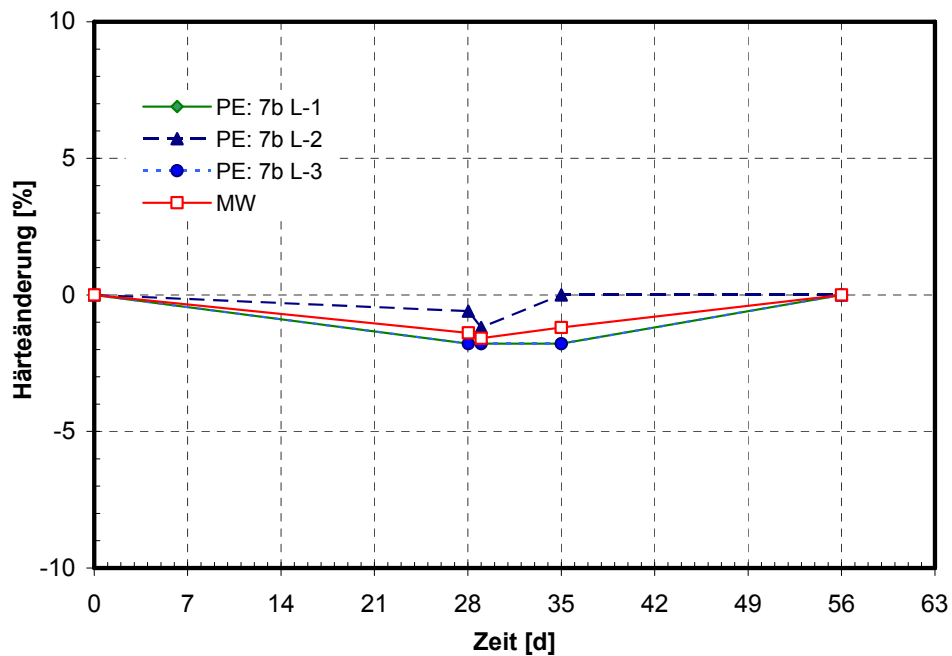


Bild 20: PE-HD Dichtungsbahn, Einlagerung in PF 7b L, Härteänderung, bezogen auf die bei 23 °C, 50 % r. F. gelagerte Probe

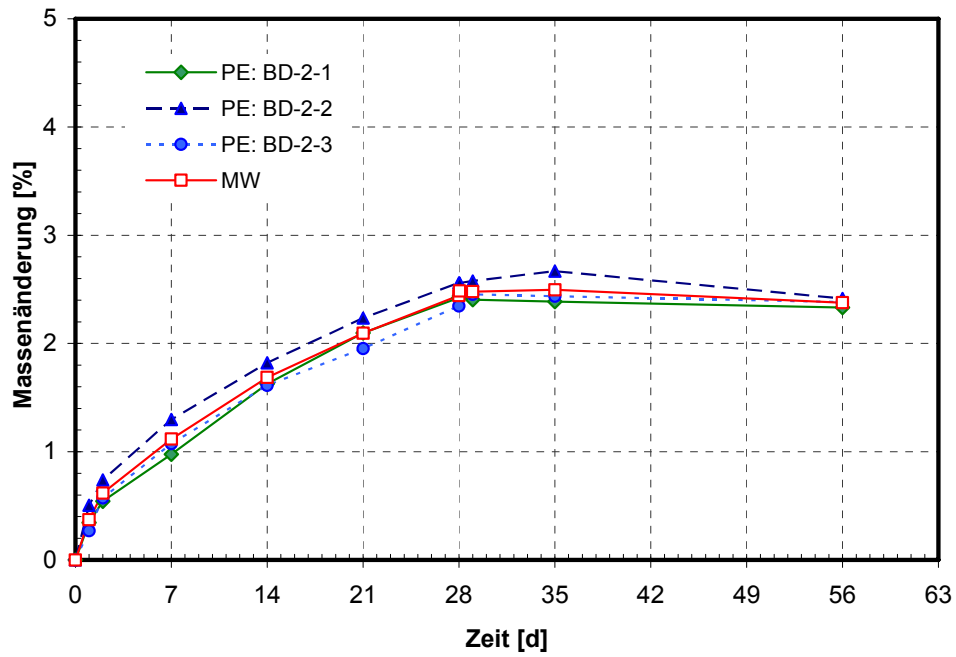


Bild 21: PE-HD Dichtungsbahn, Einlagerung in BD-2, Masseänderung

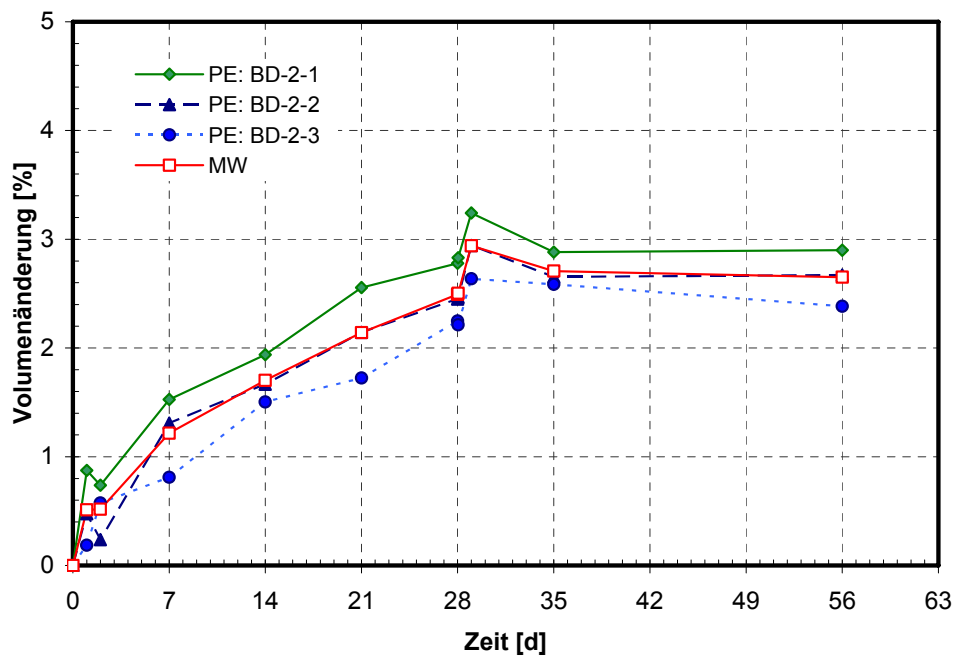


Bild 22: PE-HD Dichtungsbahn, Einlagerung in BD-2, Volumenänderung

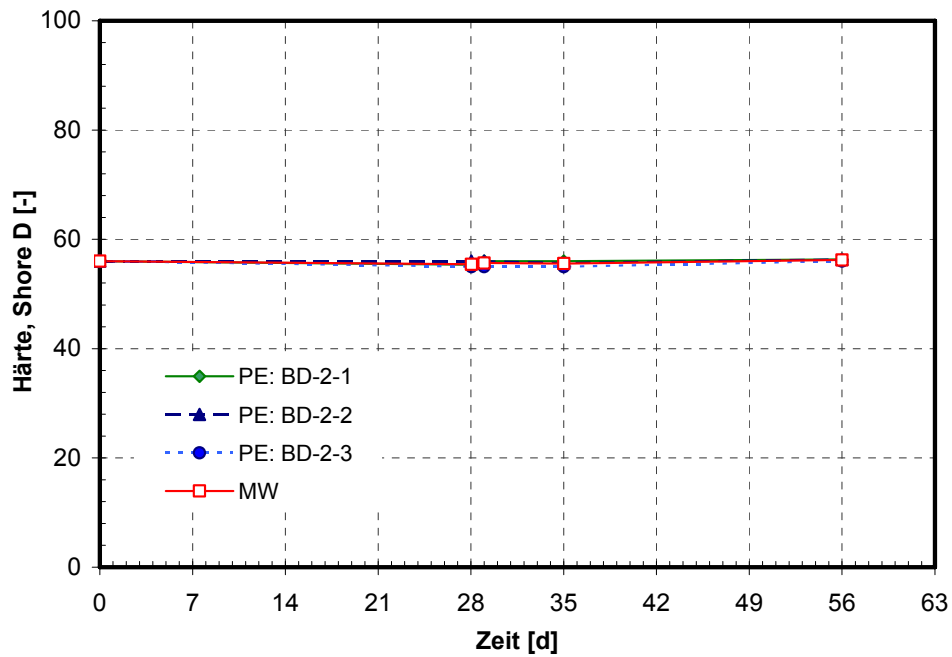


Bild 23: PE-HD Dichtungsbahn, Einlagerung in BD-2, Härteänderung (Shore-Einheiten)

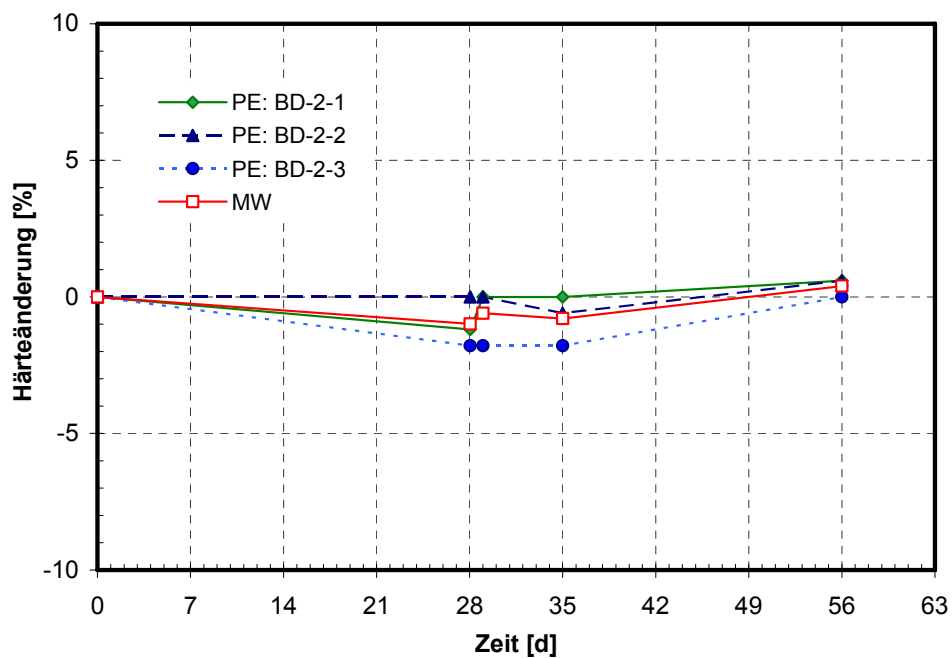


Bild 24: PE-HD Dichtungsbahn, Einlagerung in BD-2, Härteänderung, bezogen auf die bei 23 °C, 50 % r. F. gelagerte Probe

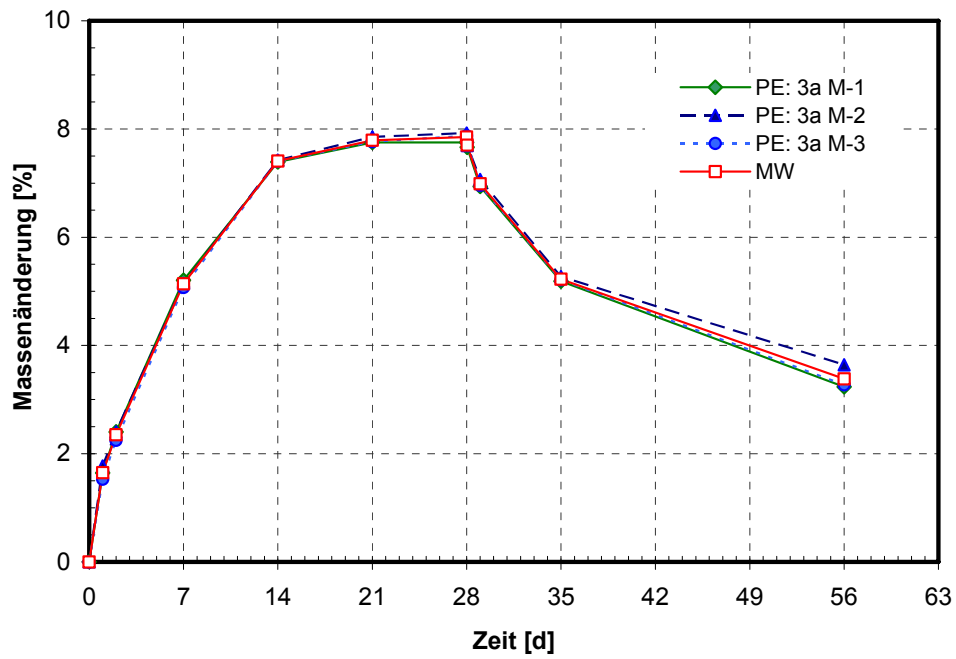


Bild 25: PE-HD Dichtungsbahn, Einlagerung in 3a M, Masseänderung

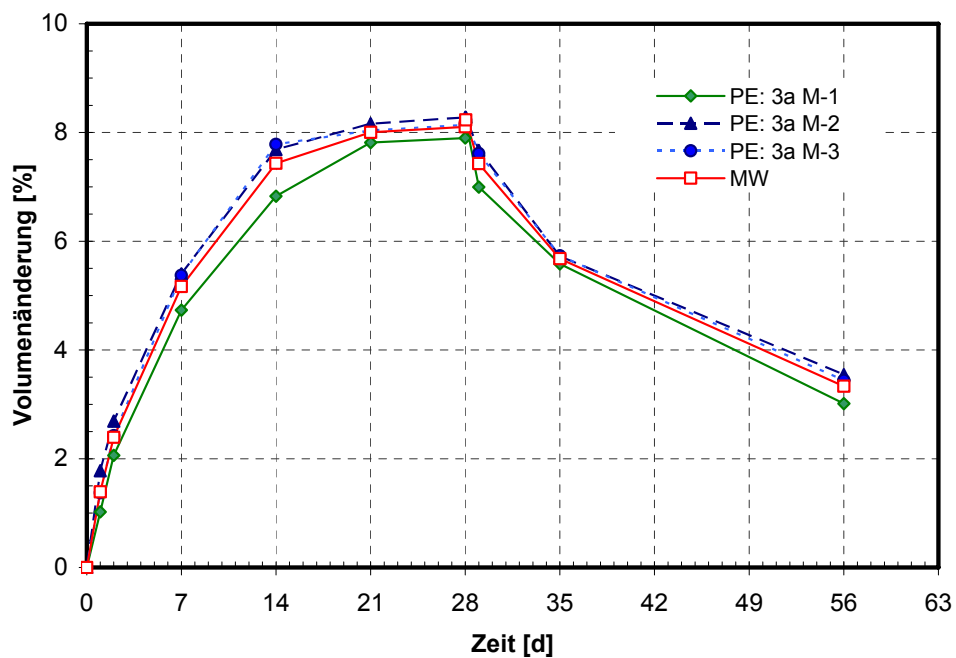


Bild 26: PE-HD Dichtungsbahn, Einlagerung in 3a M, Volumenänderung

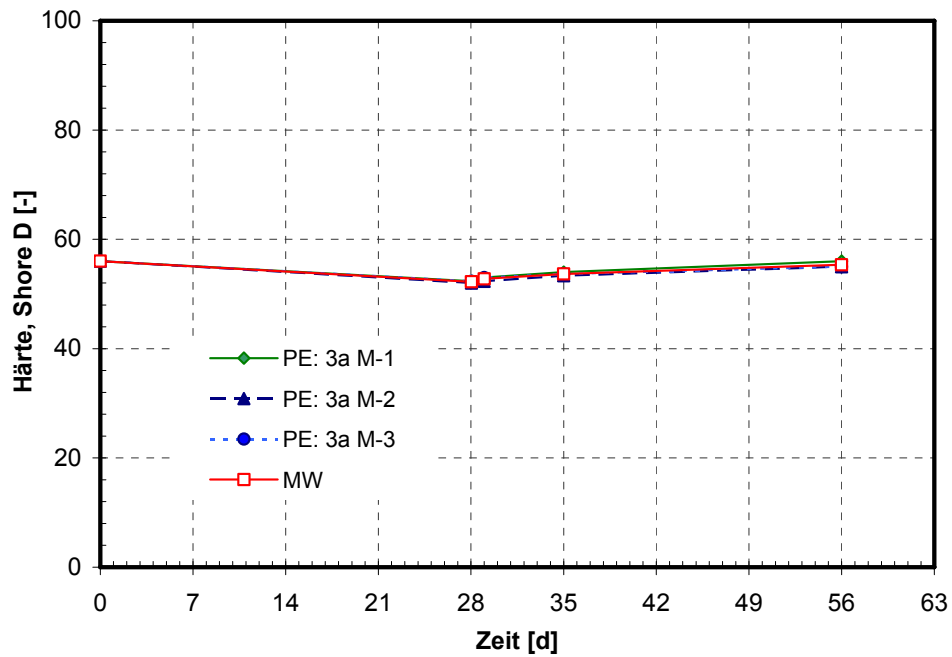


Bild 27: PE-HD Dichtungsbahn, Einlagerung in 3a M, Härteänderung (Shore-Einheiten)

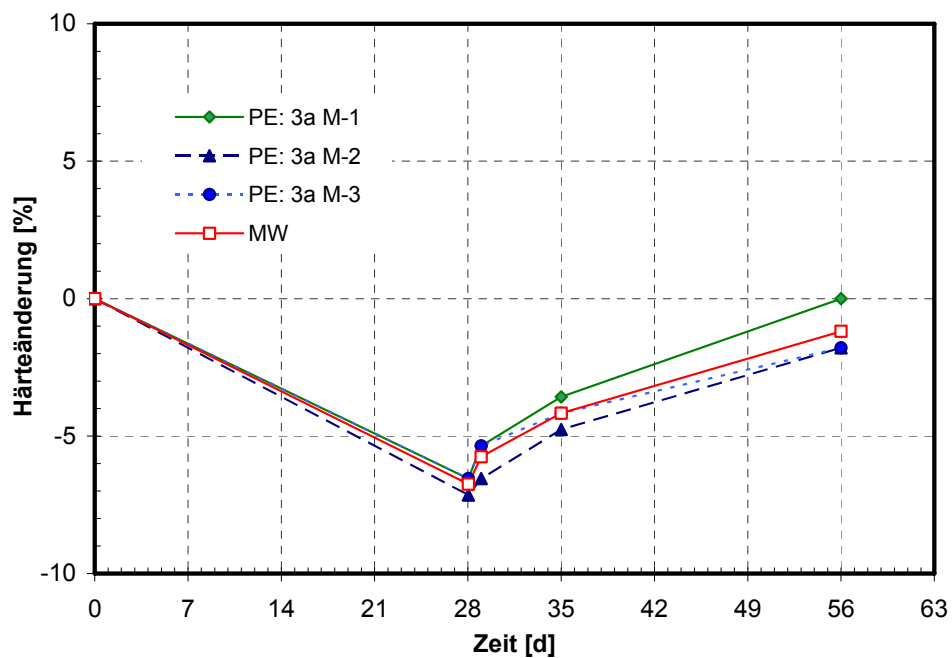


Bild 28: PE-HD Dichtungsbahn, Einlagerung in 3a M, Härteänderung, bezogen auf die bei 23 °C, 50 % r. F. gelagerte Probe

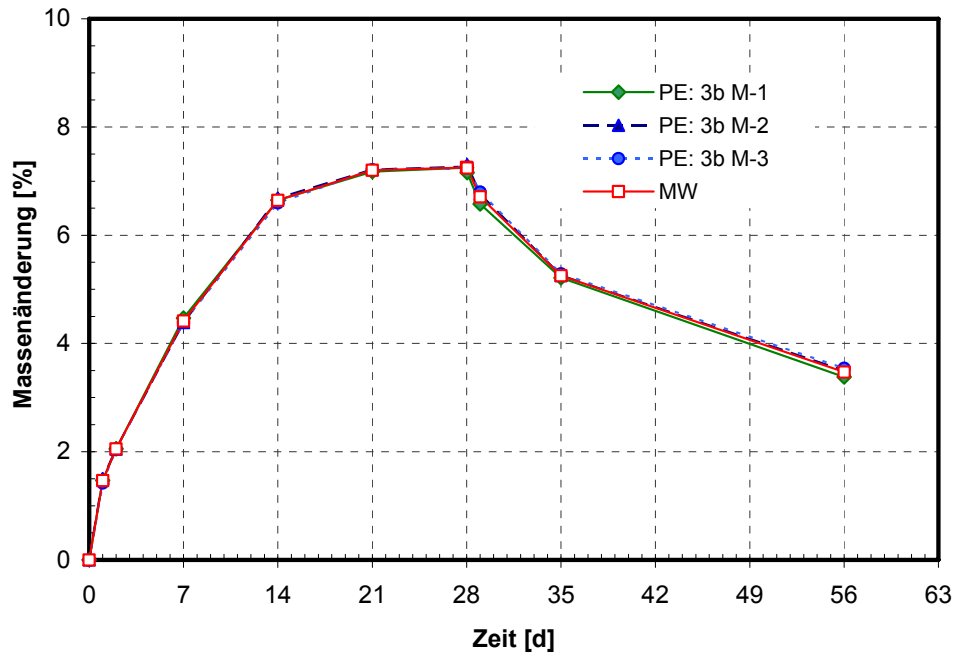


Bild 29: PE-HD Dichtungsbahn, Einlagerung in 3b M, Masseänderung

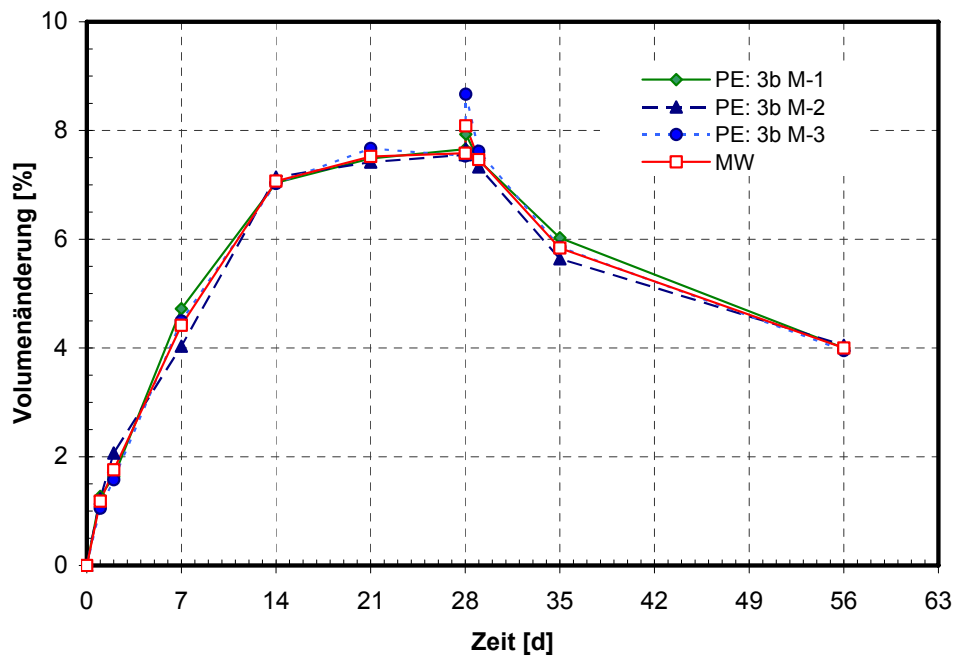


Bild 30: PE-HD Dichtungsbahn, Einlagerung in 3b M, Volumenänderung

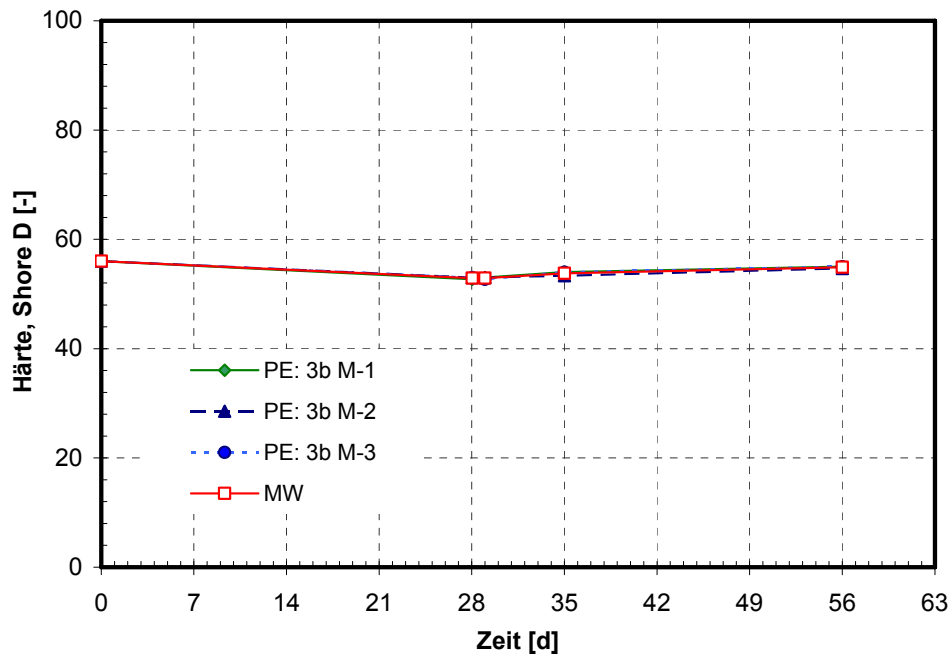


Bild 31: PE-HD Dichtungsbahn, Einlagerung in 3b M, Härteänderung (Shore-Einheiten)

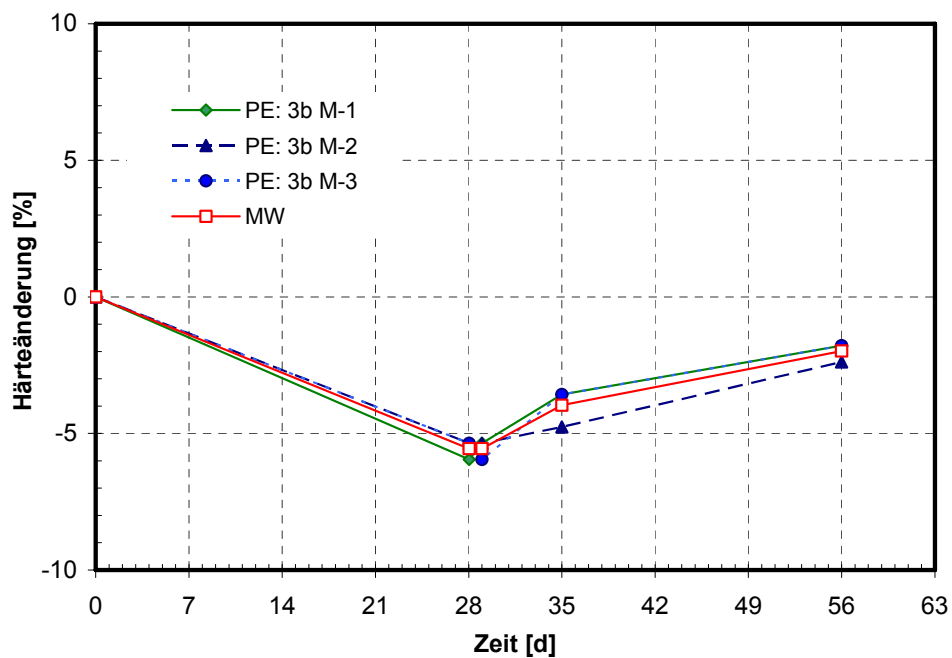


Bild 32: PE-HD Dichtungsbahn, Einlagerung in 3b M, Härteänderung, bezogen auf die bei 23 °C, 50 % r. F. gelagerte Probe



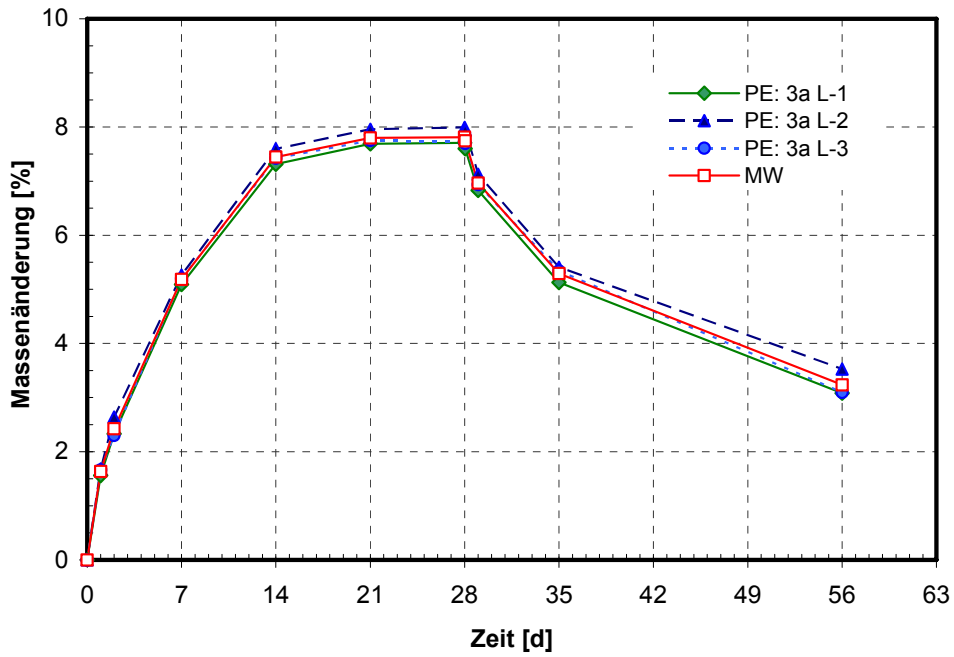


Bild 33: PE-HD Dichtungsbahn, Einlagerung in 3a L, Masseänderung

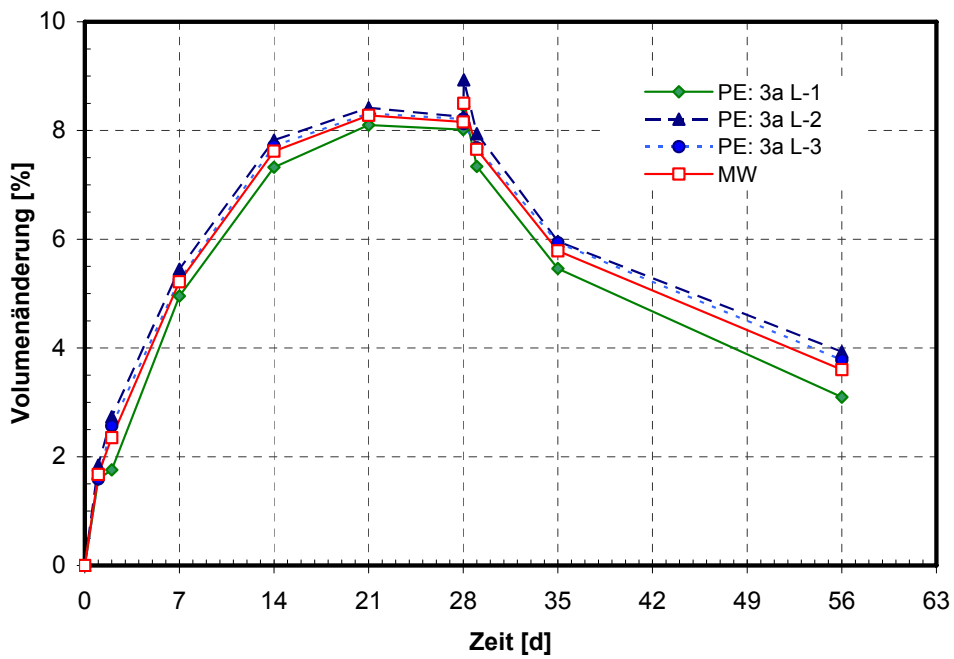


Bild 34: PE-HD Dichtungsbahn, Einlagerung in 3a L, Volumenänderung

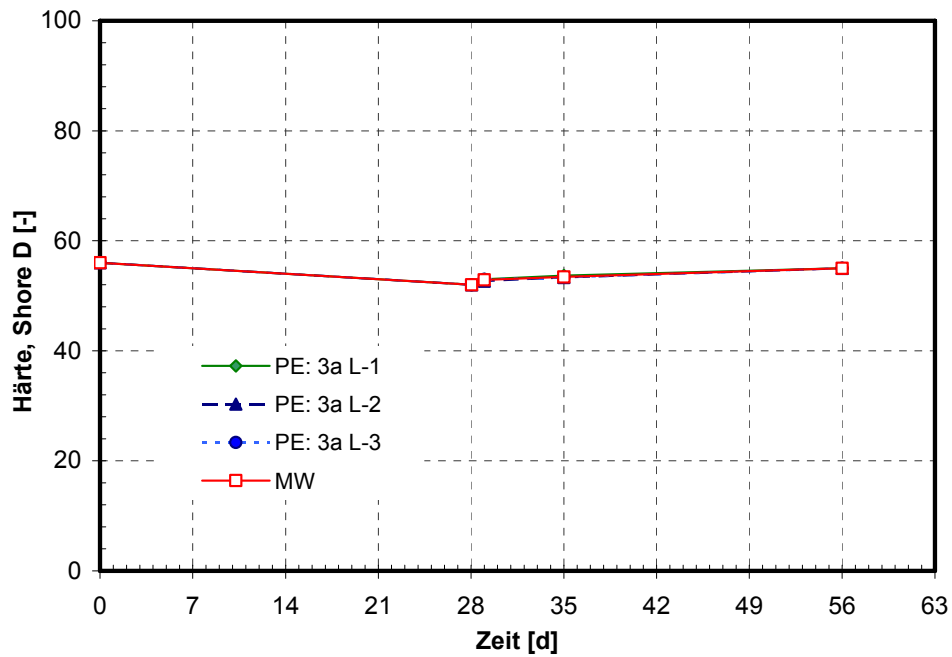


Bild 35: PE-HD Dichtungsbahn, Einlagerung in 3a L, Härteänderung (Shore-Einheiten)

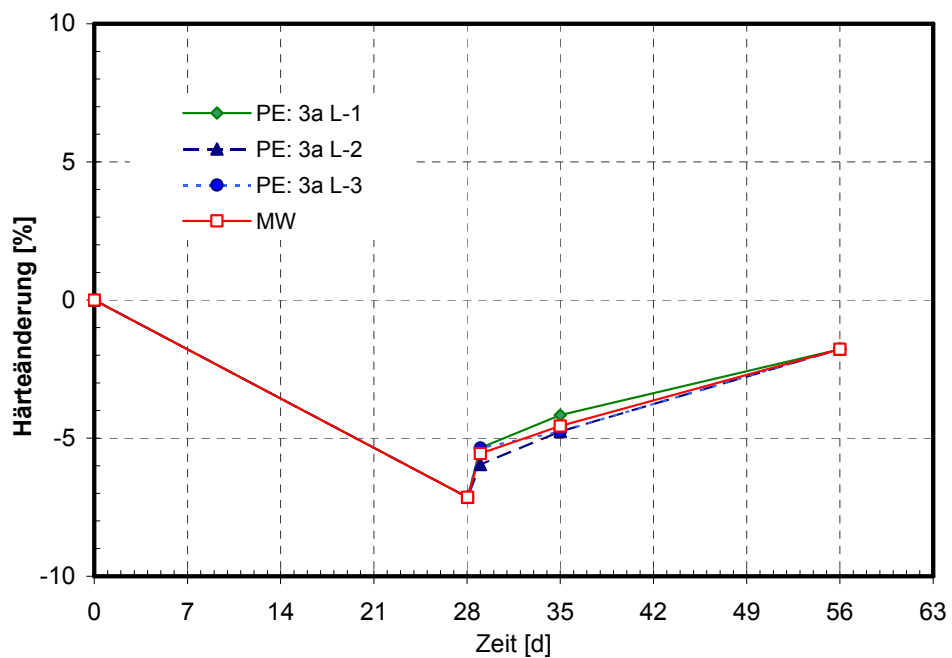


Bild 36: PE-HD Dichtungsbahn, Einlagerung in 3a L, Härteänderung, bezogen auf die bei 23 °C, 50 % r. F. gelagerte Probe

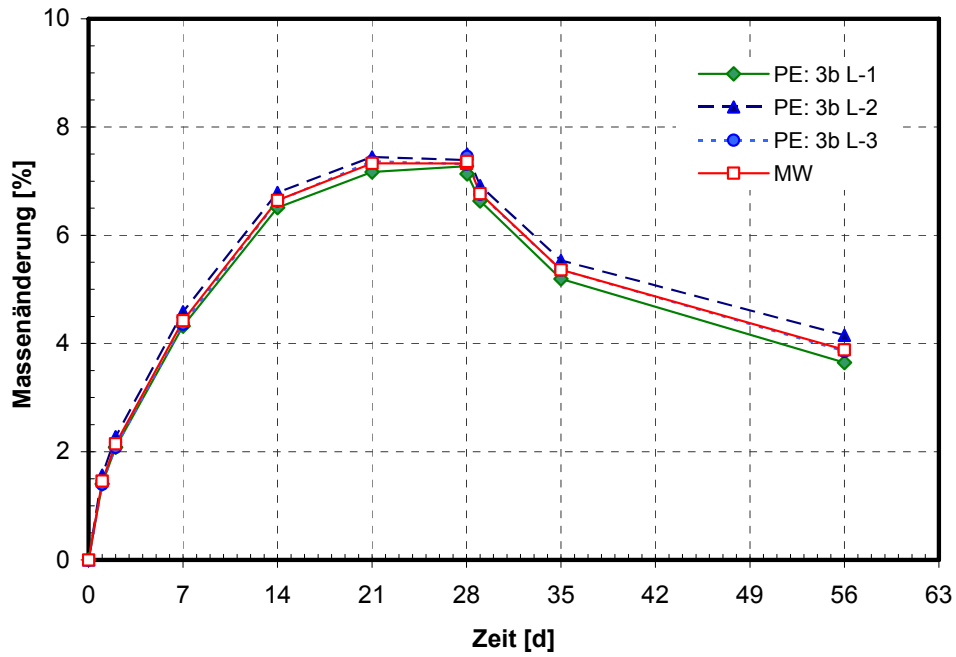


Bild 37: PE-HD Dichtungsbahn, Einlagerung in 3b L, Masseänderung

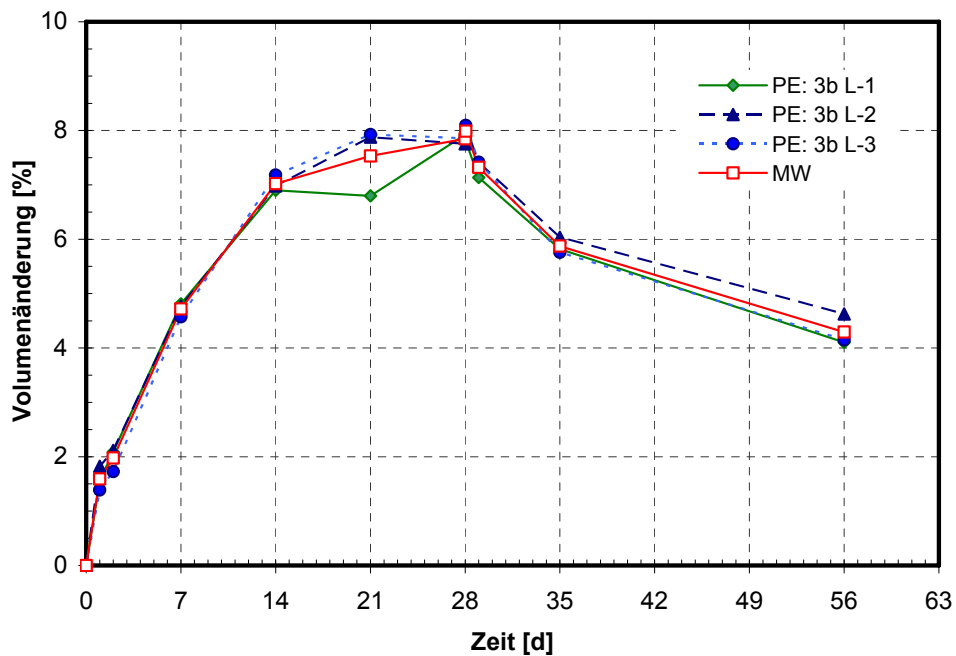


Bild 38: PE-HD Dichtungsbahn, Einlagerung in 3b L, Volumenänderung

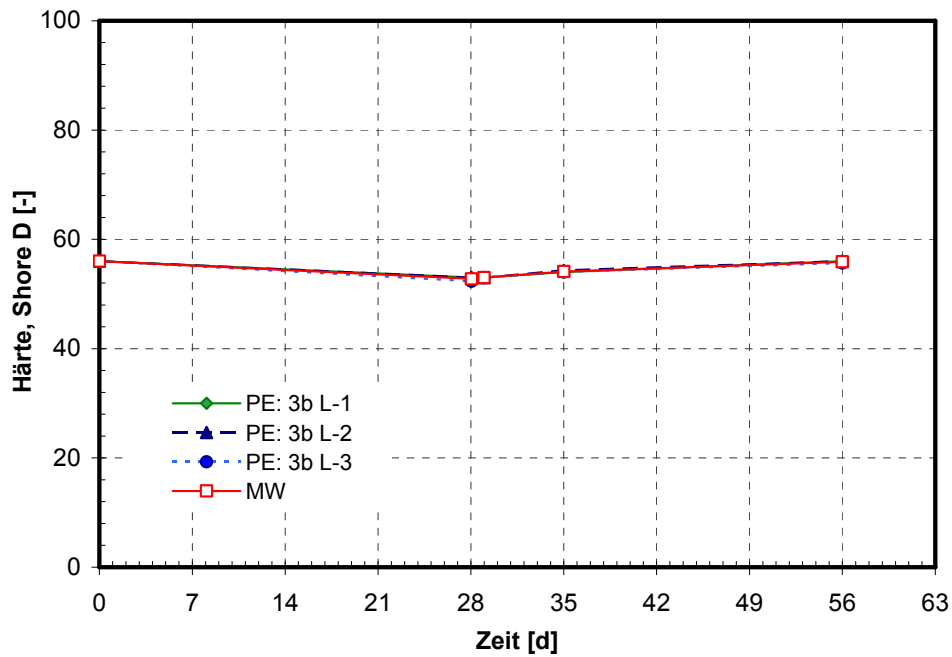


Bild 39: PE-HD Dichtungsbahn, Einlagerung in 3b L, Härteänderung (Shore-Einheiten)

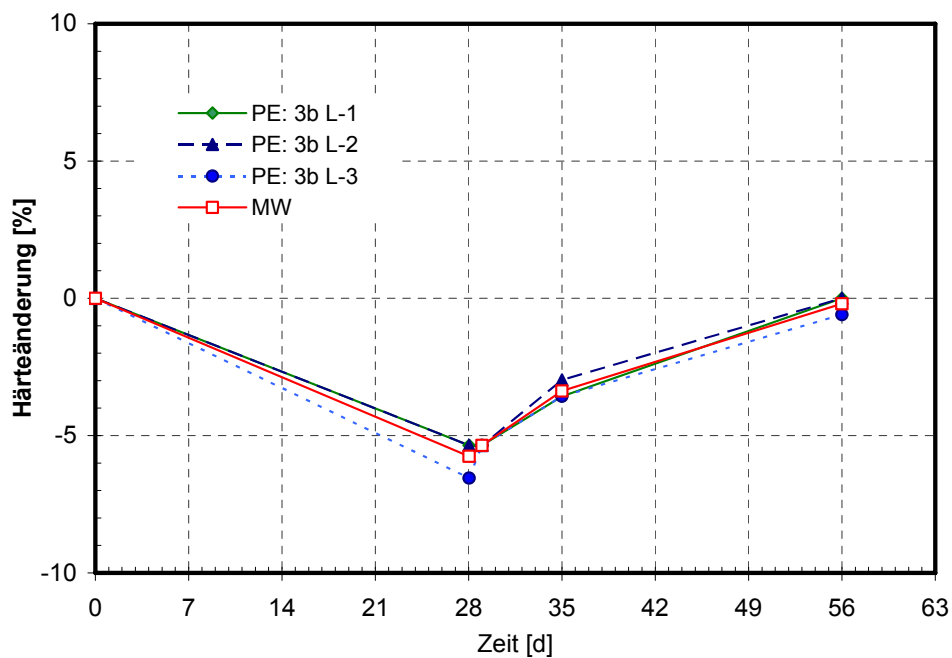


Bild 40: PE-HD Dichtungsbahn, Einlagerung in 3b L, Härteänderung, bezogen auf die bei 23 °C, 50 % r. F. gelagerte Probe

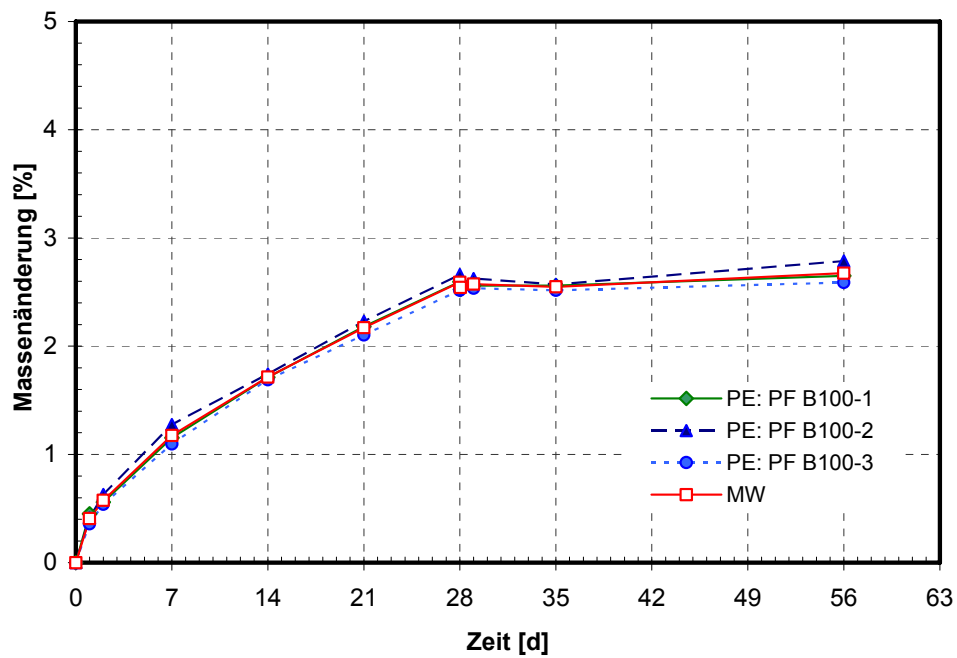


Bild 41: PE-HD Dichtungsbahn, Einlagerung in PF B100, Masseänderung

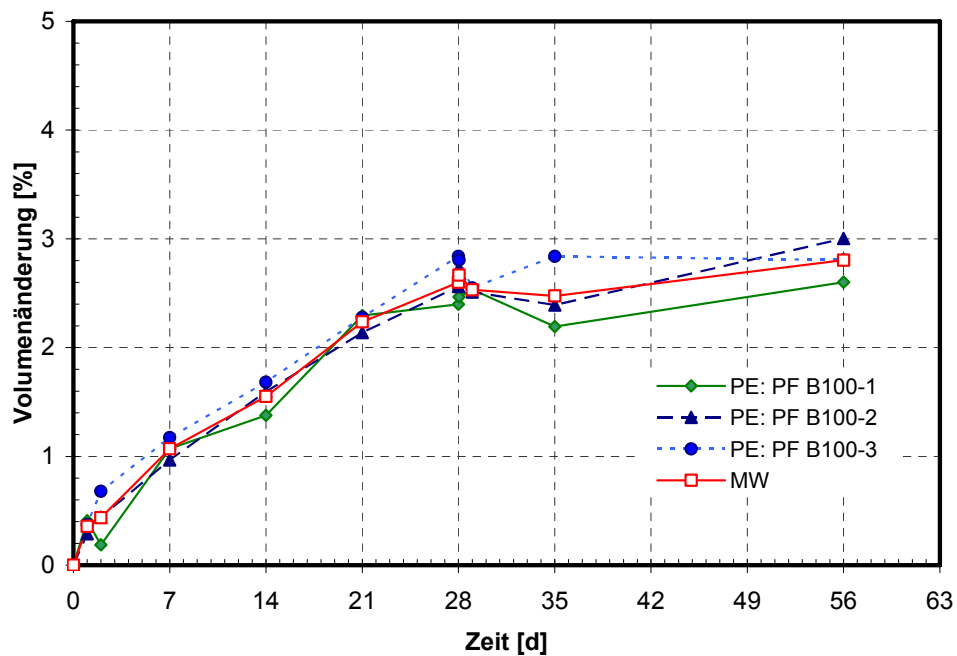


Bild 42: PE-HD Dichtungsbahn, Einlagerung in PF B100, Volumenänderung

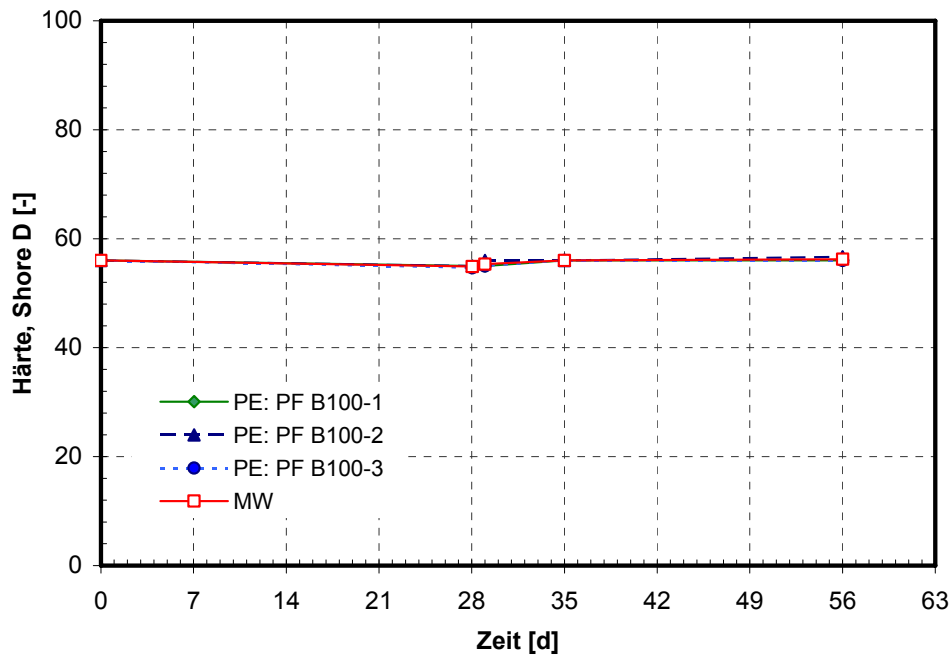


Bild 43: PE-HD Dichtungsbahn, Einlagerung in PF B100, Härteänderung (Shore-Einheiten)

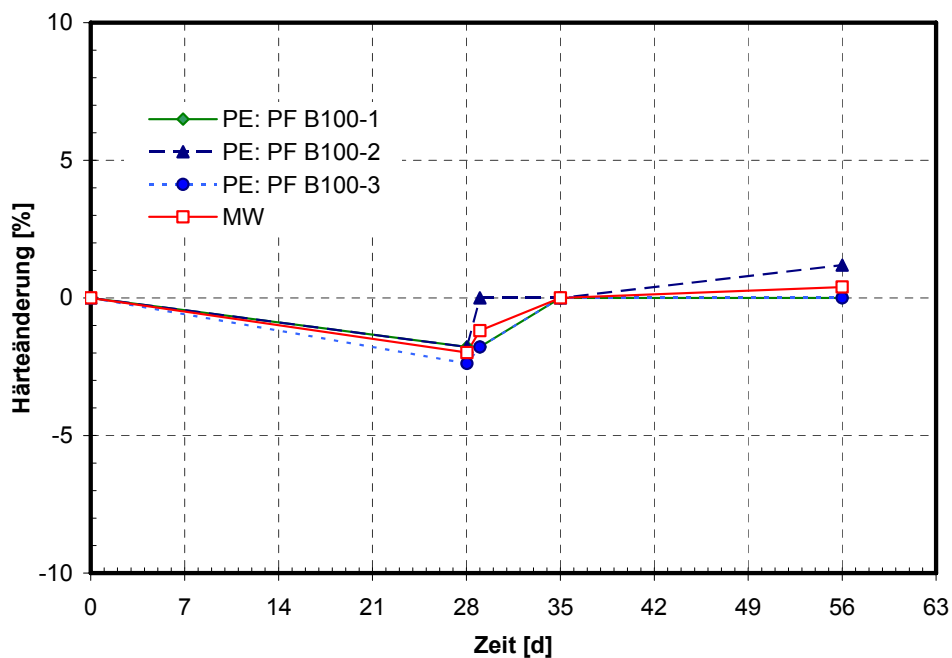


Bild 44: PE-HD Dichtungsbahn, Einlagerung in PF B100, Härteänderung, bezogen auf die bei 23 °C, 50 % r. F. gelagerte Probe

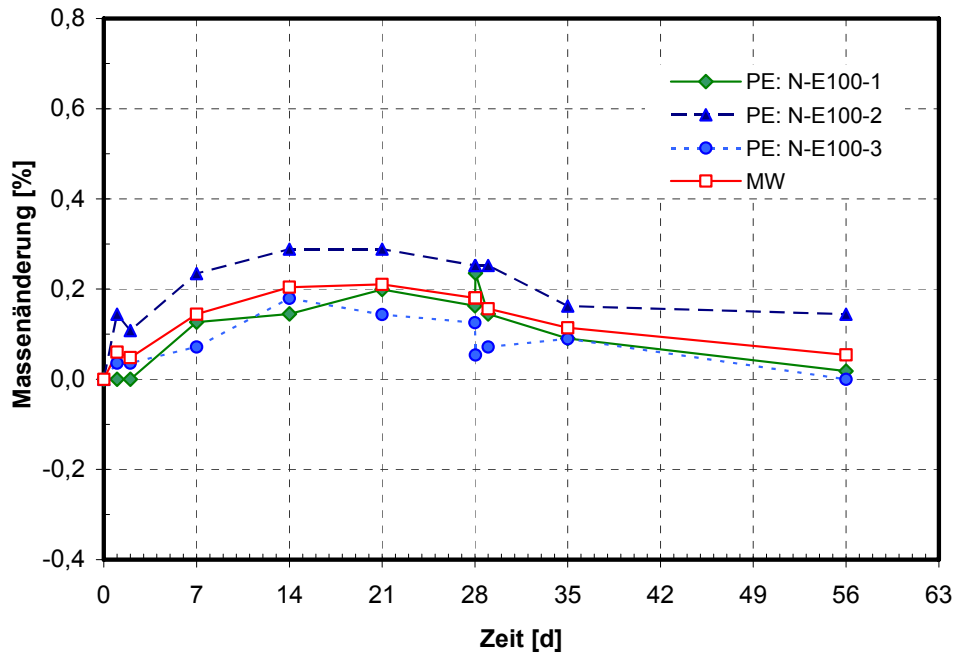


Bild 45: PE-HD Dichtungsbahn, Einlagerung in N-E100, Masseänderung

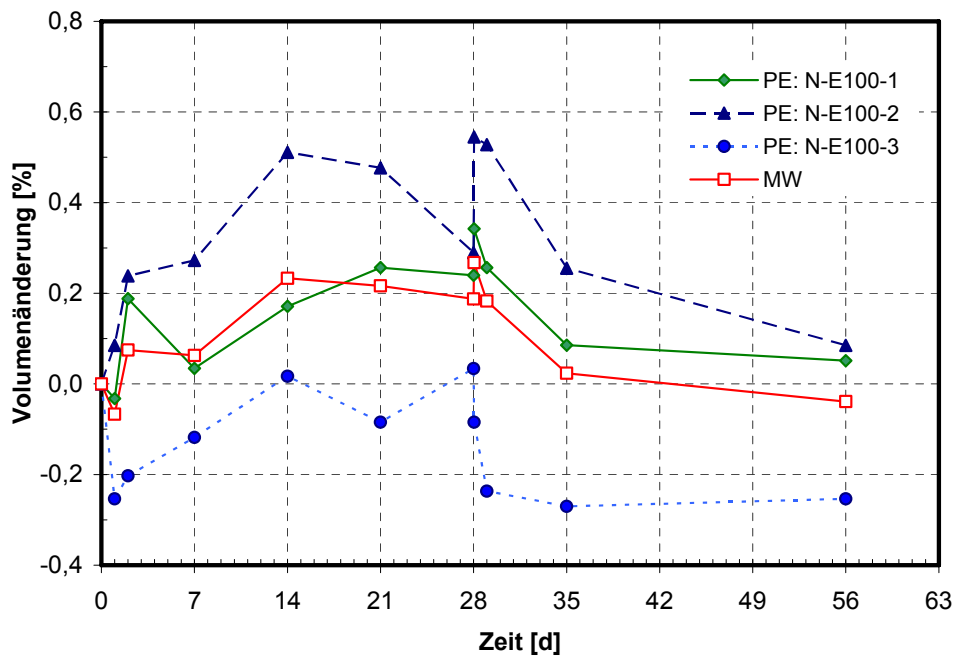


Bild 46: PE-HD Dichtungsbahn, Einlagerung in N-E100, Volumenänderung

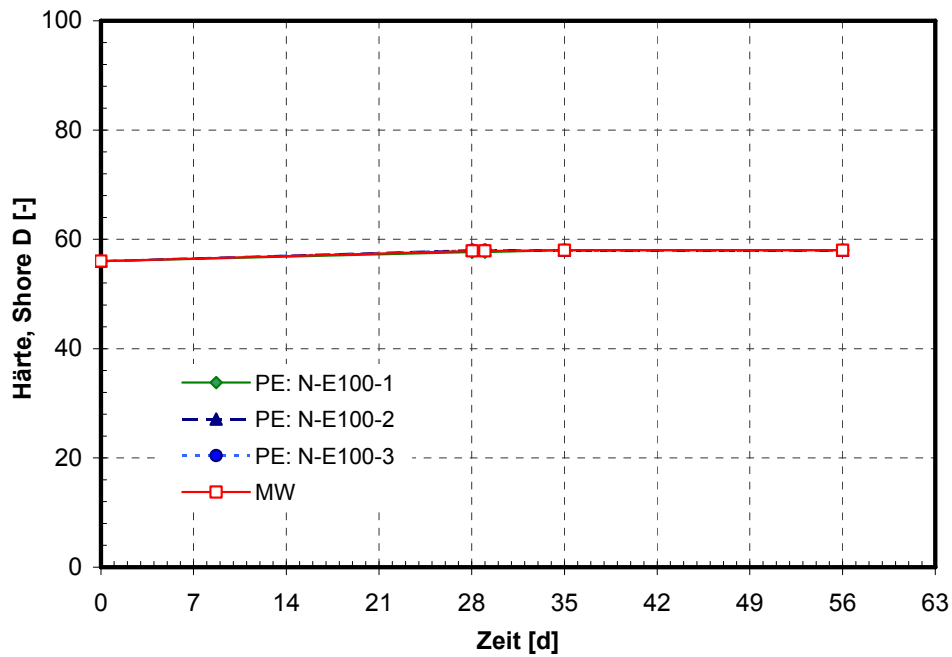


Bild 47: PE-HD Dichtungsbahn, Einlagerung in N-E100, Härteänderung (Shore-Einheiten)

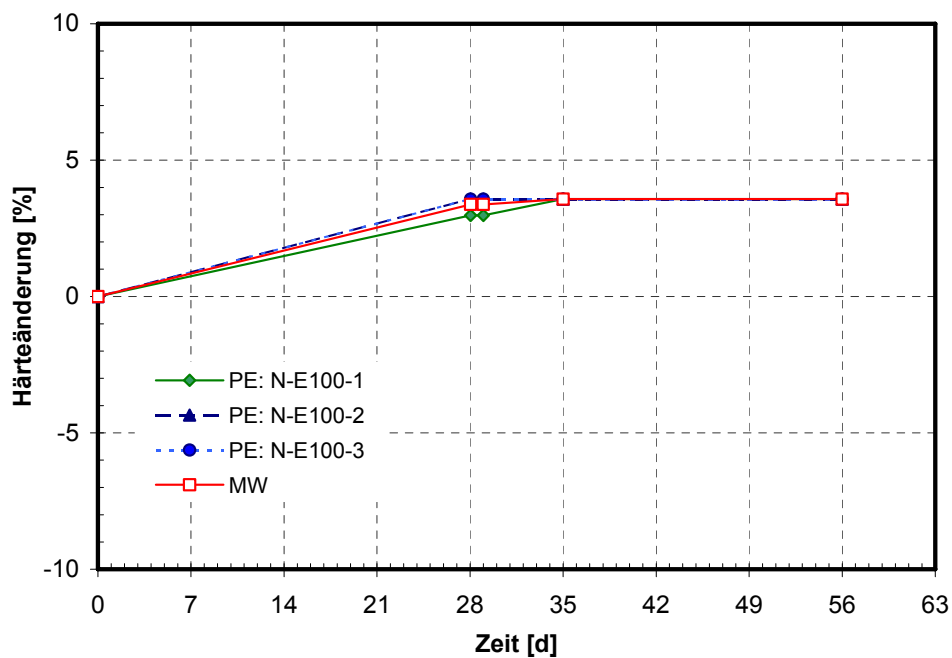


Bild 48: PE-HD Dichtungsbahn, Einlagerung in N-E100, Härteänderung, bezogen auf die bei 23 °C, 50 % r. F. gelagerte Probe



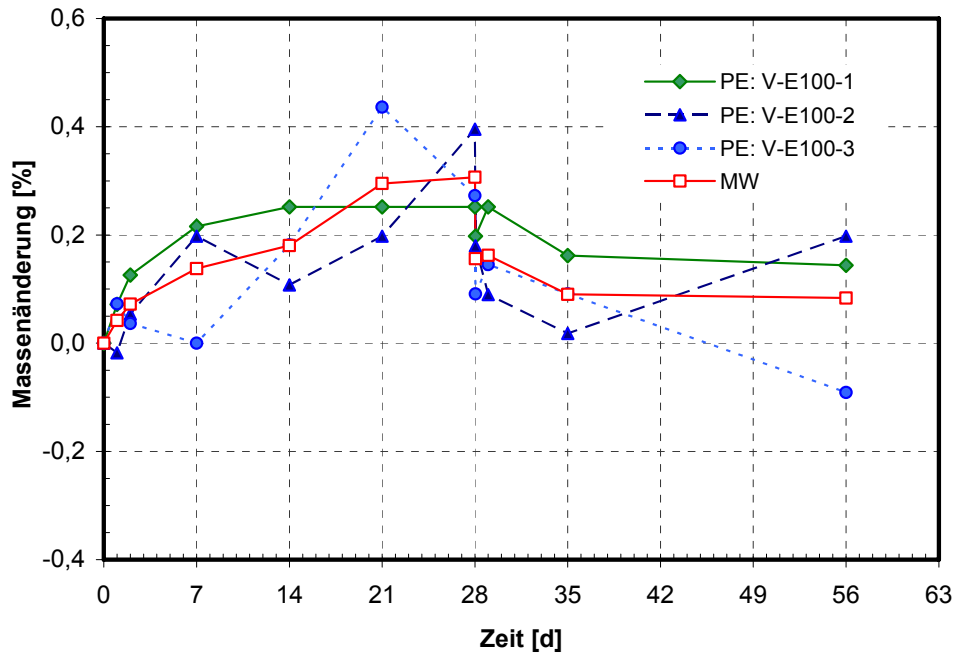


Bild 49: PE-HD Dichtungsbahn, Einlagerung in V-E100, Masseänderung

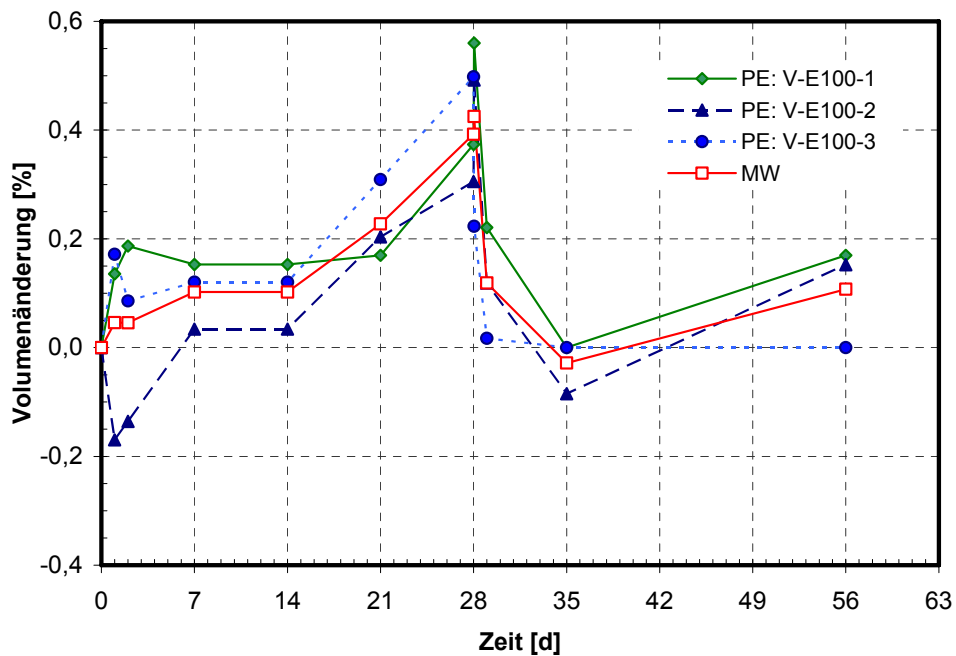


Bild 50: PE-HD Dichtungsbahn, Einlagerung in V-E100, Volumenänderung

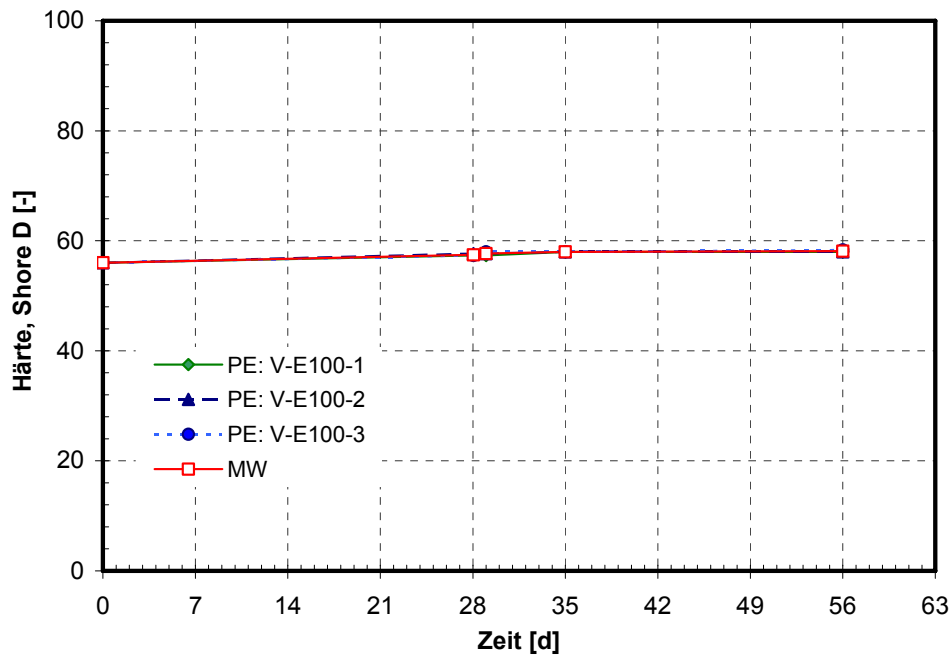


Bild 51: PE-HD Dichtungsbahn, Einlagerung in V-E100, Härteänderung (Shore-Einheiten)

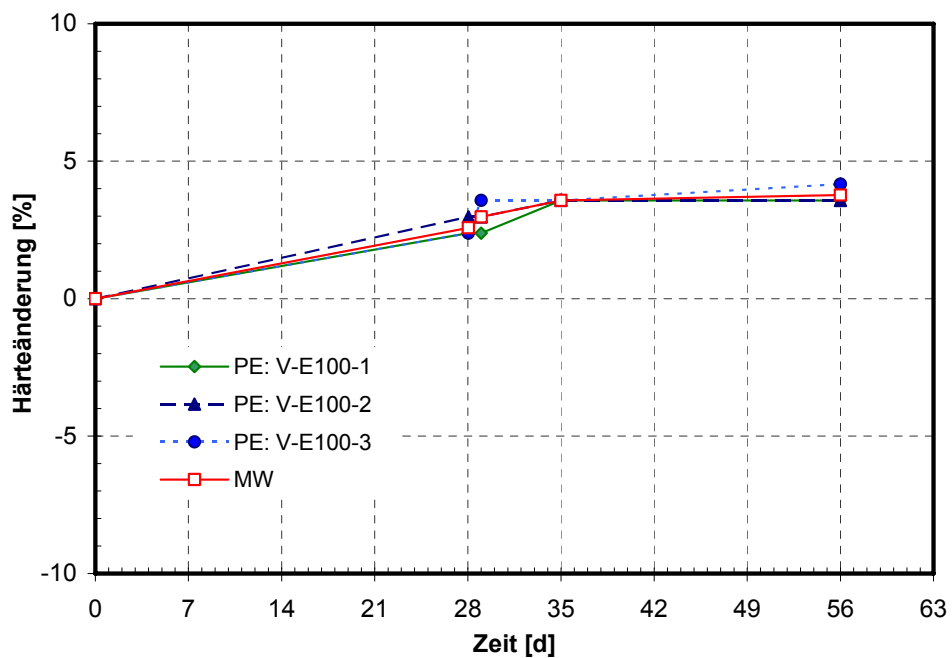


Bild 52: PE-HD Dichtungsbahn, Einlagerung in V-E100, Härteänderung, bezogen auf die bei 23 °C, 50 % r. F. gelagerte Probe

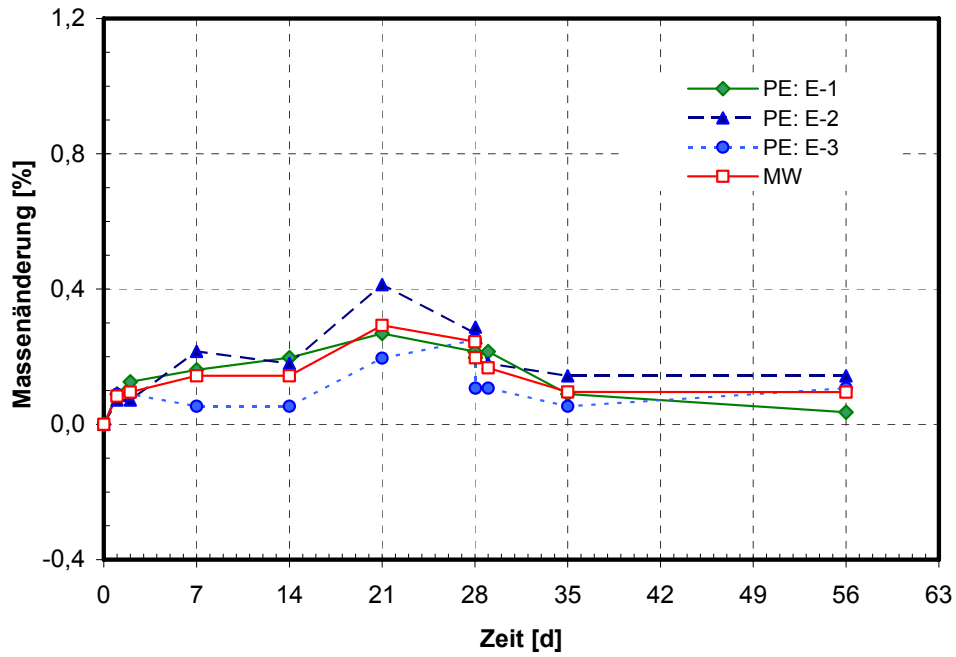


Bild 53: PE-HD Dichtungsbahn, Einlagerung in E, Masseänderung

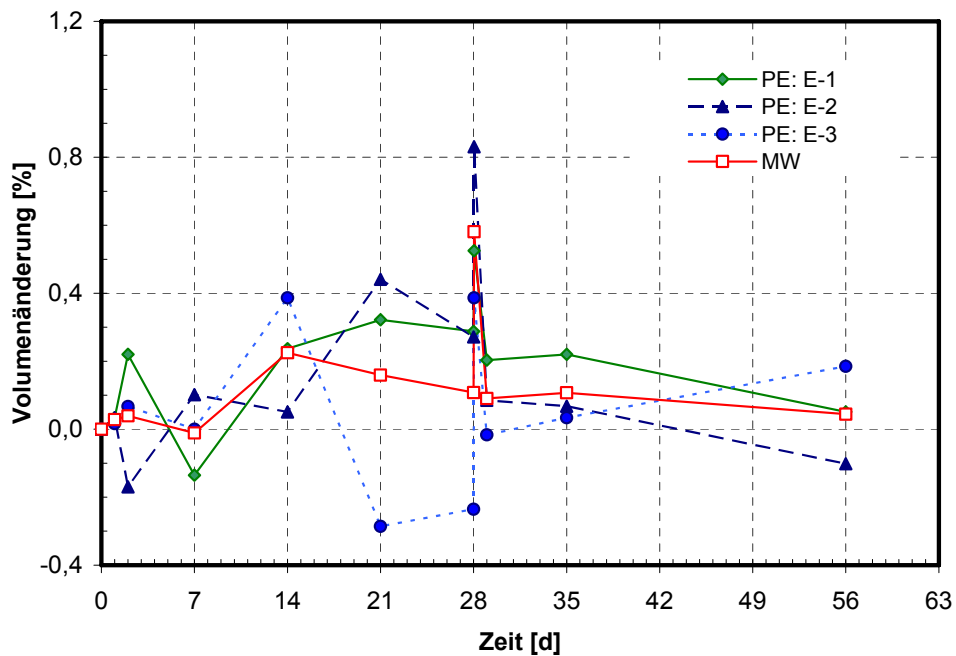


Bild 54: PE-HD Dichtungsbahn, Einlagerung in E, Volumenänderung

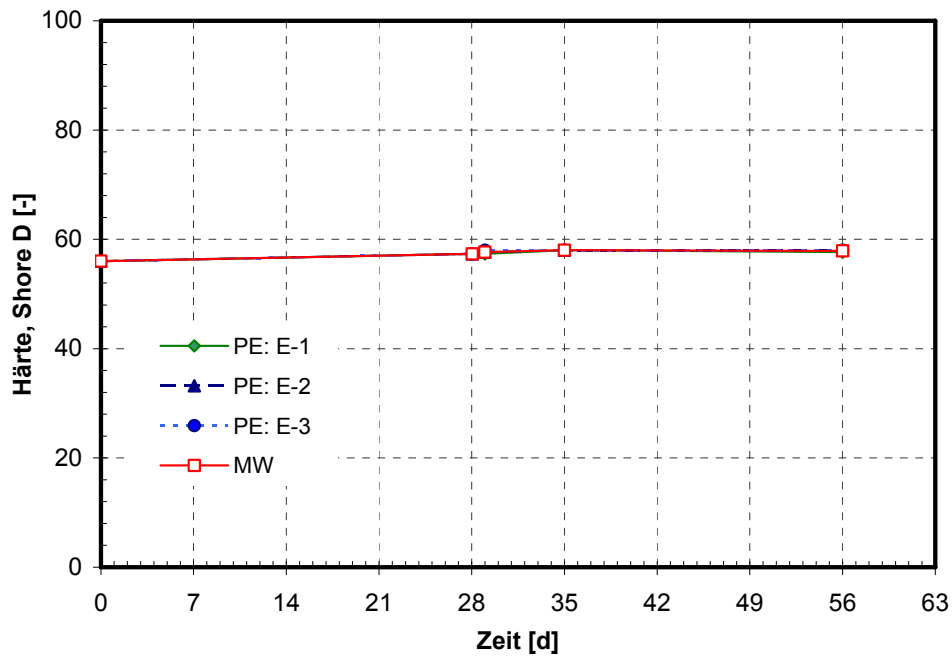


Bild 55: PE-HD Dichtungsbahn, Einlagerung in E, Härteänderung (Shore-Einheiten)

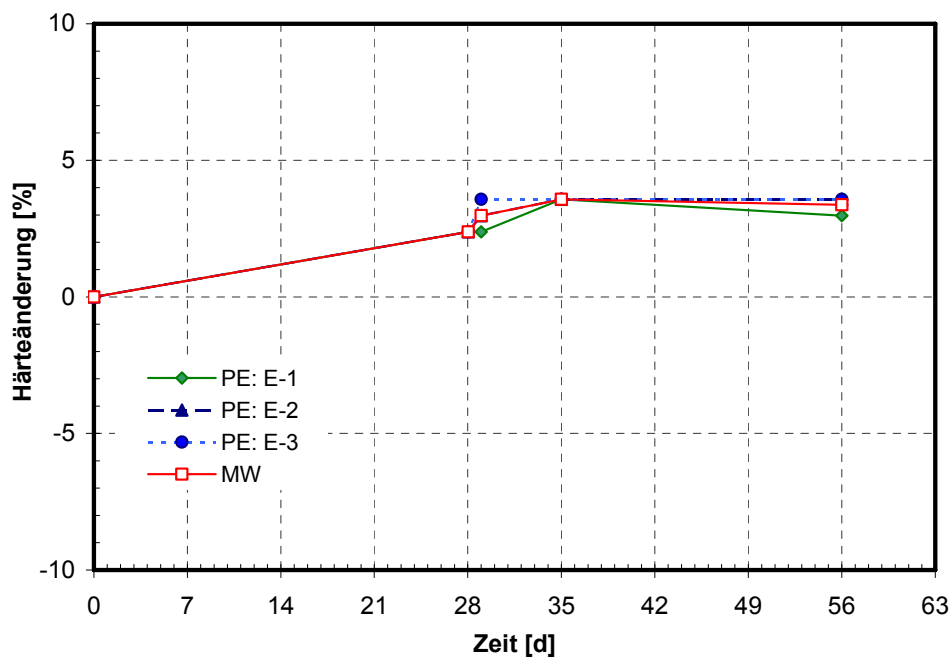


Bild 56: PE-HD Dichtungsbahn, Einlagerung in E, Härteänderung, bezogen auf die bei 23 °C, 50 % r. F. gelagerte Probe

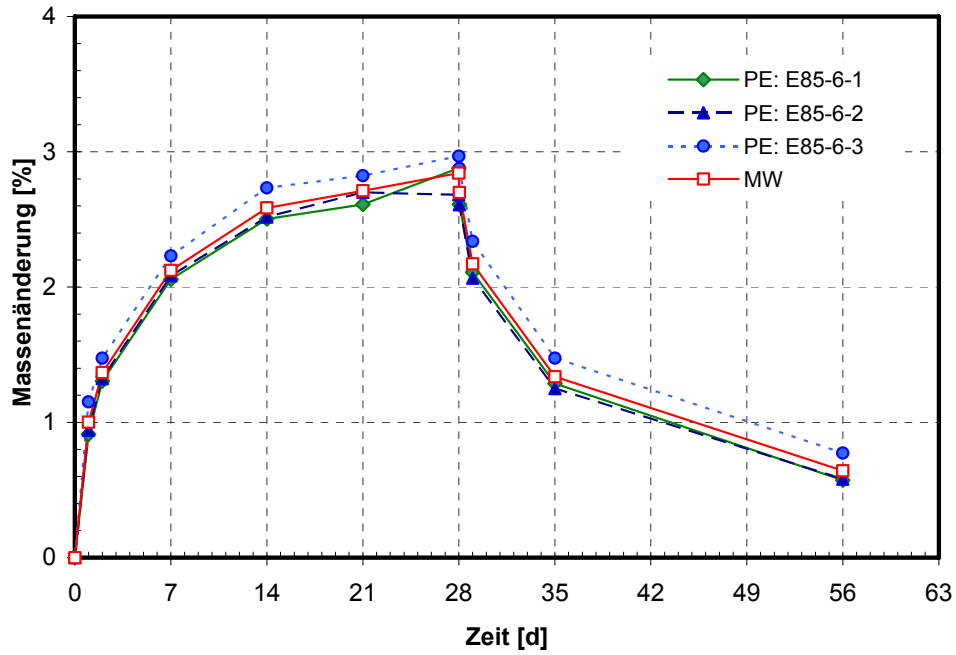


Bild 57: PE-HD Dichtungsbahn, Einlagerung in E85-6, Masseänderung

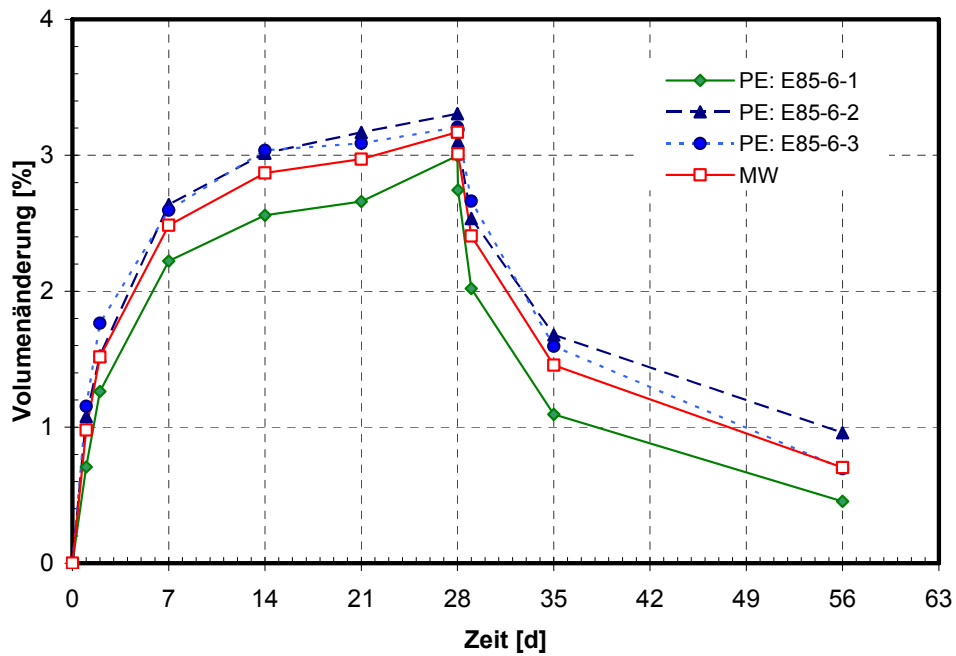


Bild 58: PE-HD Dichtungsbahn, Einlagerung in E85-6, Volumenänderung

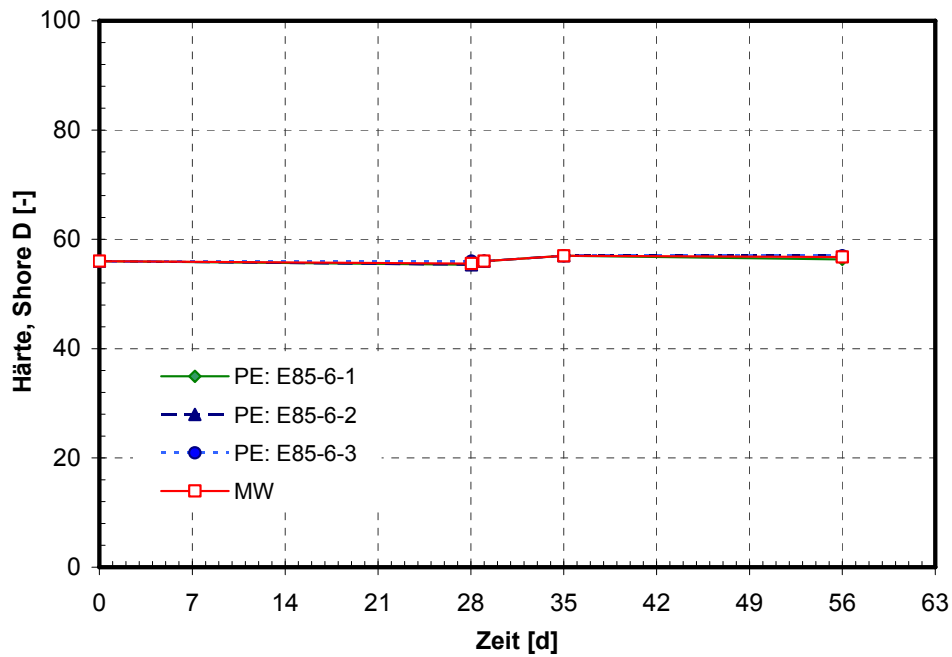


Bild 59: PE-HD Dichtungsbahn, Einlagerung in E85-6, Härteänderung (Shore-Einheiten)

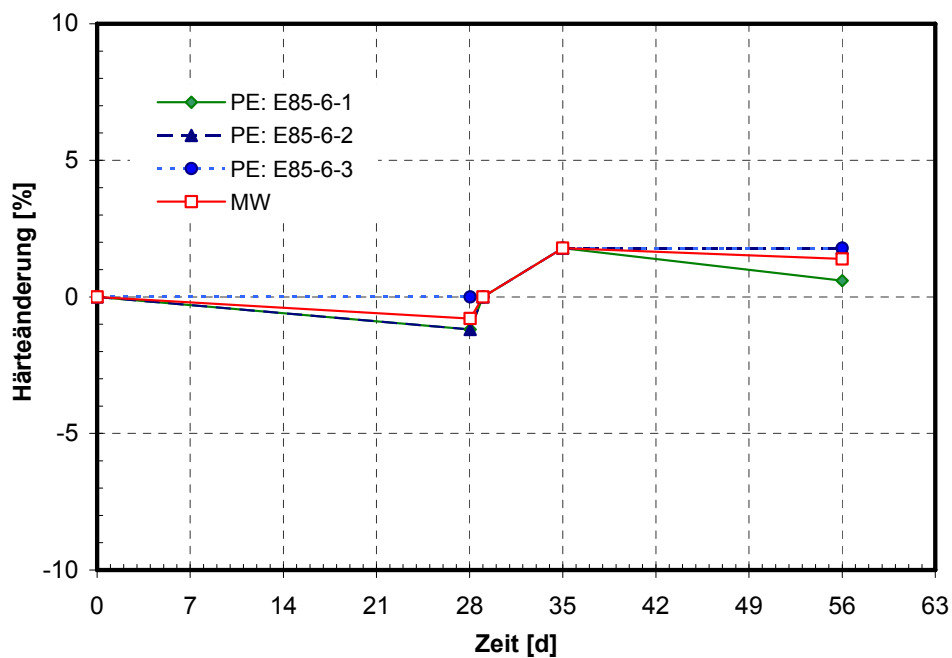


Bild 60: PE-HD Dichtungsbahn, Einlagerung in E85-6, Härteänderung, bezogen auf die bei 23 °C, 50 % r. F. gelagerte Probe

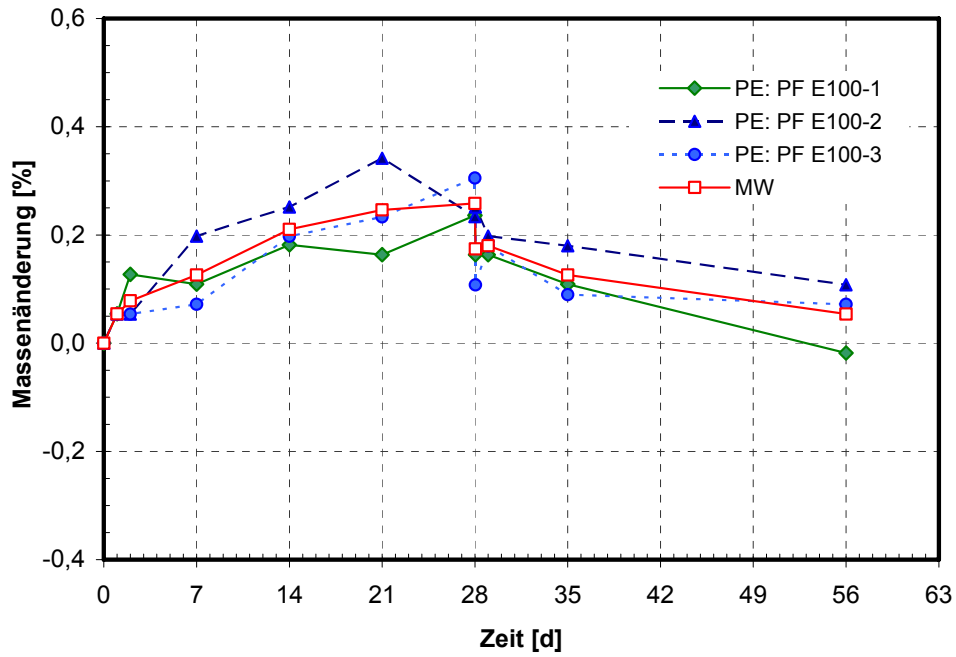


Bild 61: PE-HD Dichtungsbahn, Einlagerung in PF E100, Masseänderung

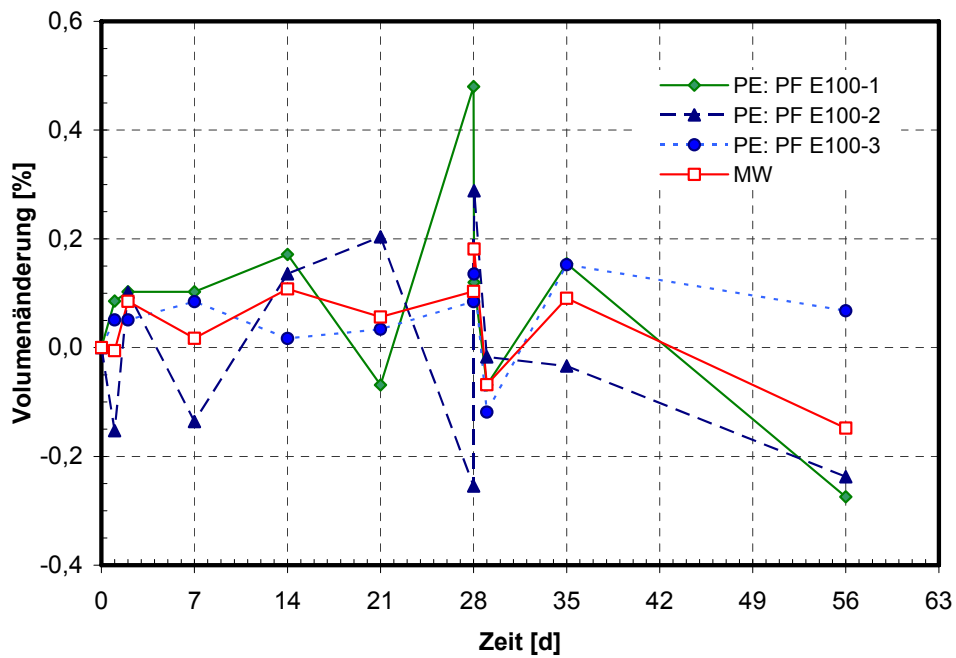


Bild 62: PE-HD Dichtungsbahn, Einlagerung in PF E100, Volumenänderung

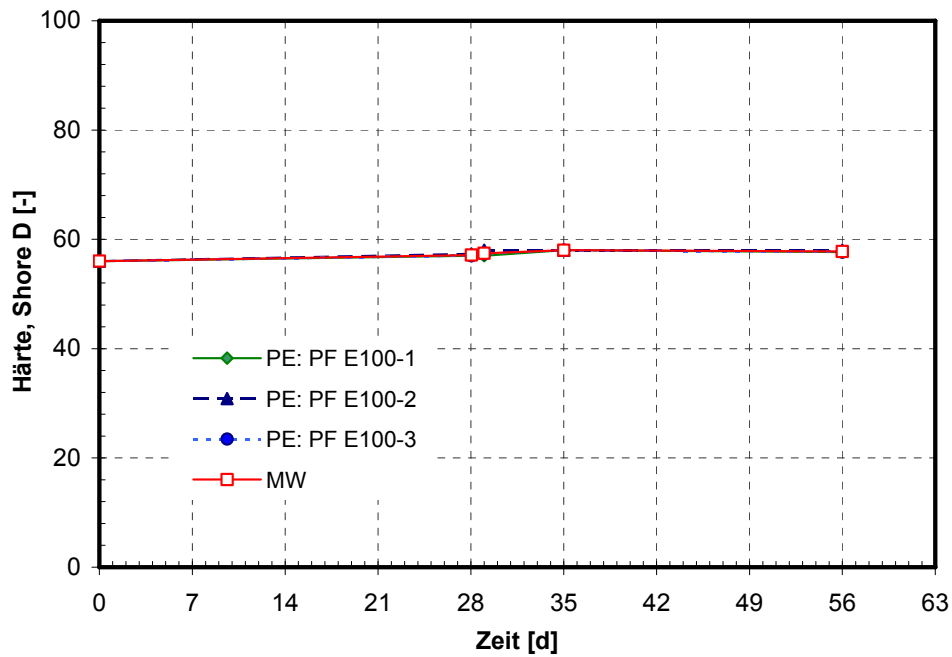


Bild 63: PE-HD Dichtungsbahn, Einlagerung in PF E100, Härteänderung (Shore-Einheiten)

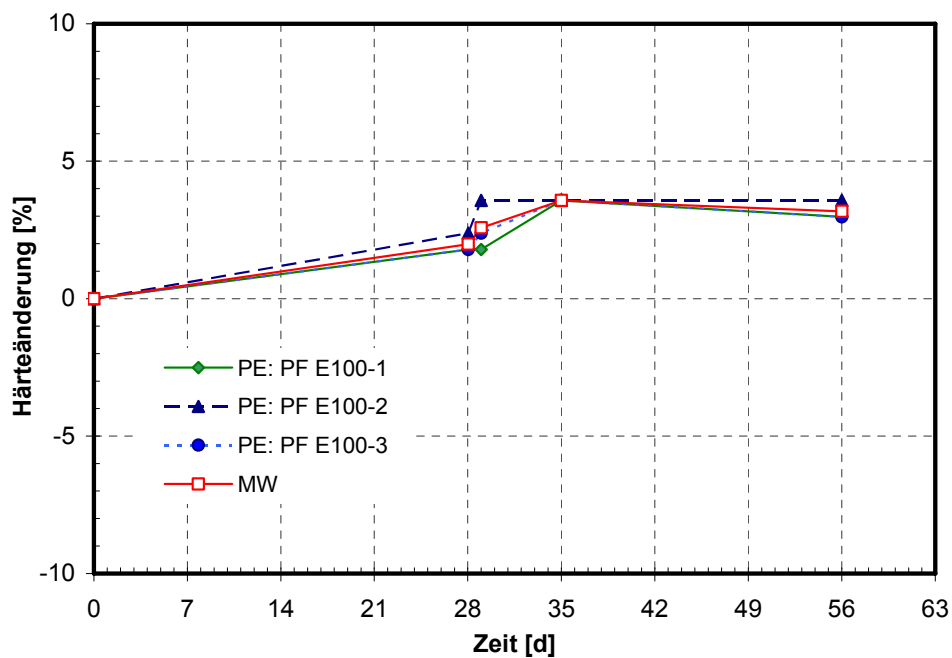


Bild 64: PE-HD Dichtungsbahn, Einlagerung in PF E100, Härteänderung, bezogen auf die bei 23 °C, 50 % r. F. gelagerte Probe



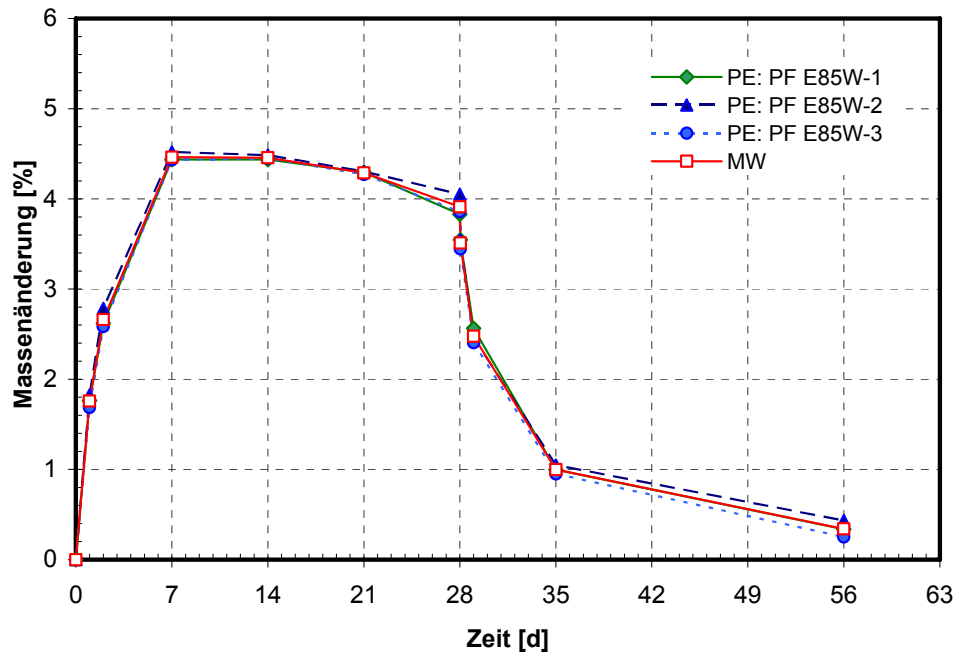


Bild 65: PE-HD Dichtungsbahn, Einlagerung in PF E85W, Masseänderung

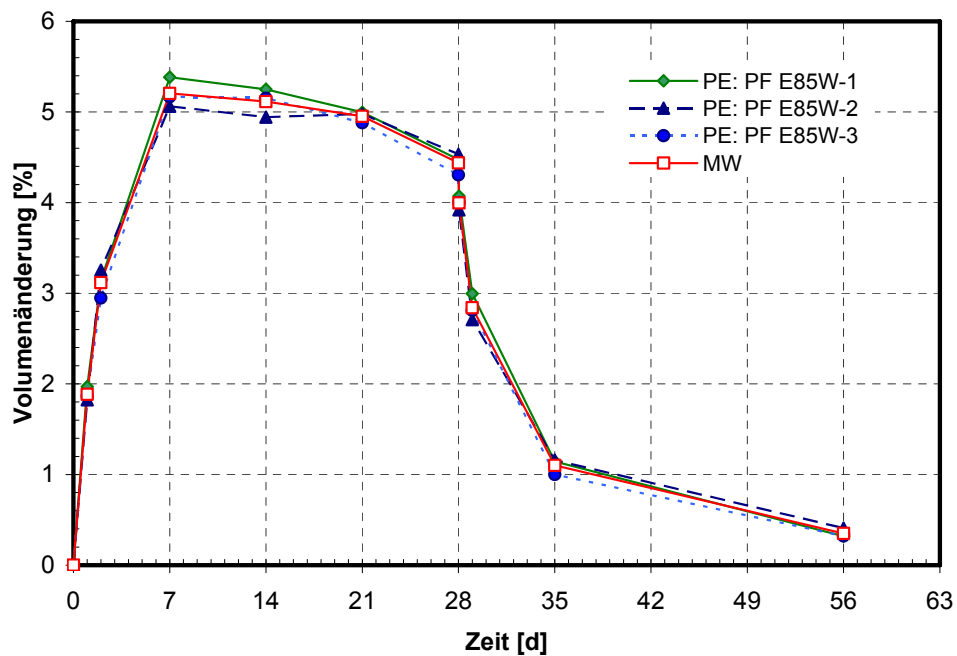


Bild 66: PE-HD Dichtungsbahn, Einlagerung in PF E85W, Volumenänderung

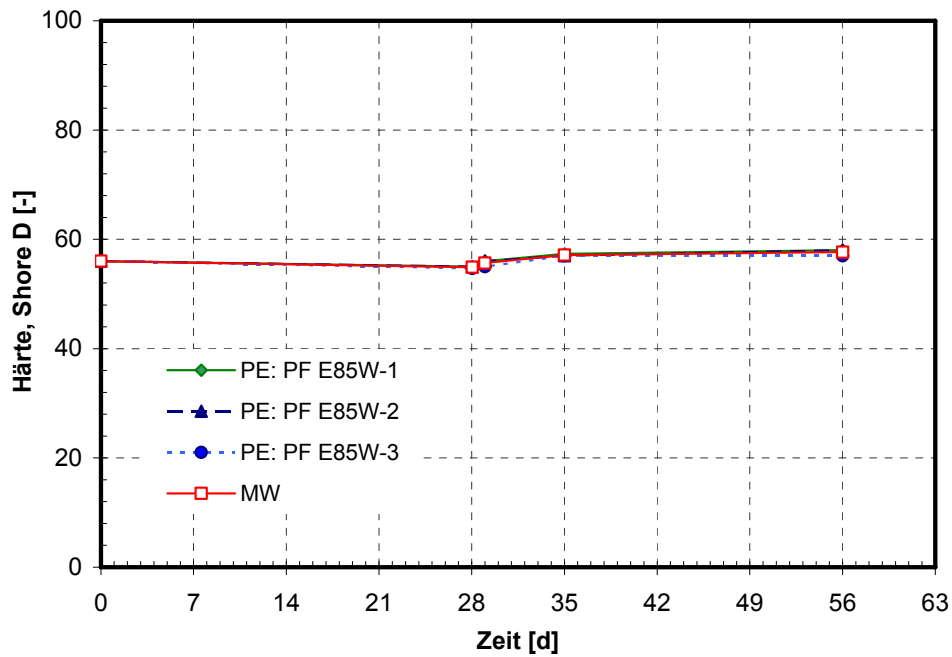


Bild 67: PE-HD Dichtungsbahn, Einlagerung in PF E85W, Härteänderung (Shore-Einheiten)

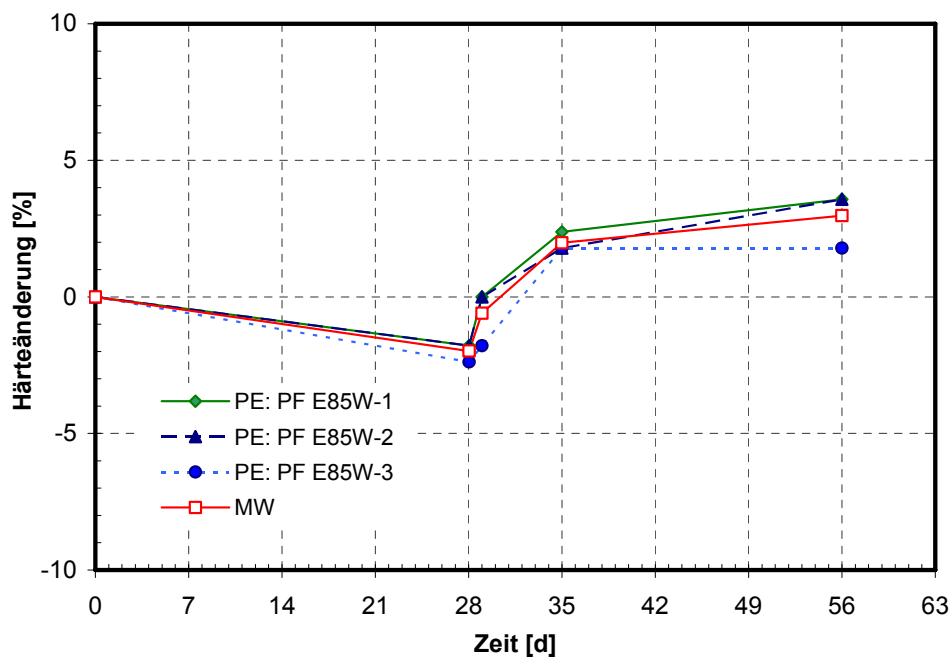


Bild 68: PE-HD Dichtungsbahn, Einlagerung in PF E85W, Härteänderung, bezogen auf die bei 23 °C, 50 % r. F. gelagerte Probe

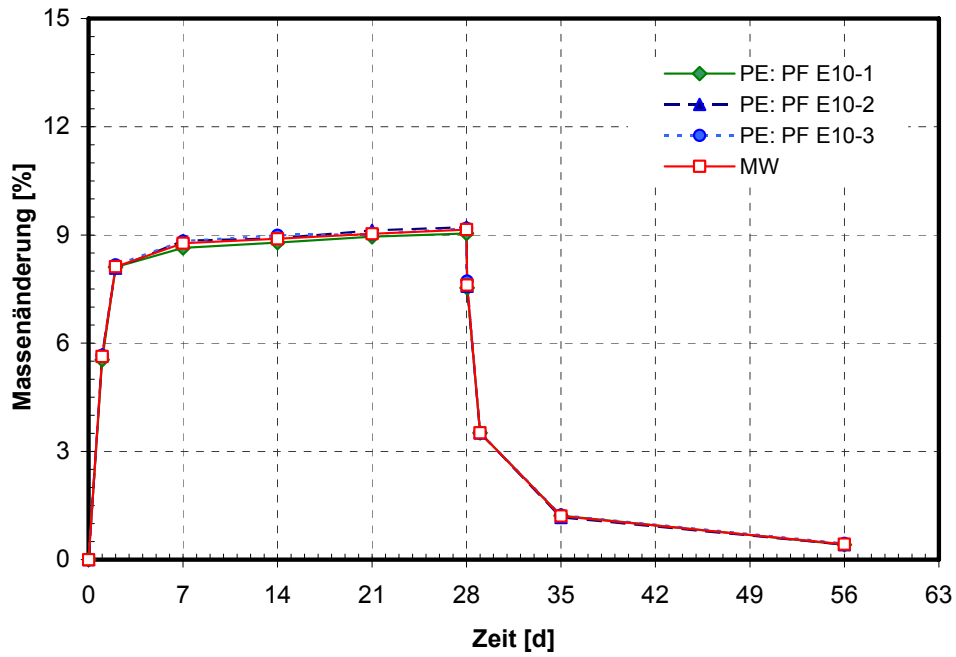


Bild 69: PE-HD Dichtungsbahn, Einlagerung in PF E10, Masseänderung

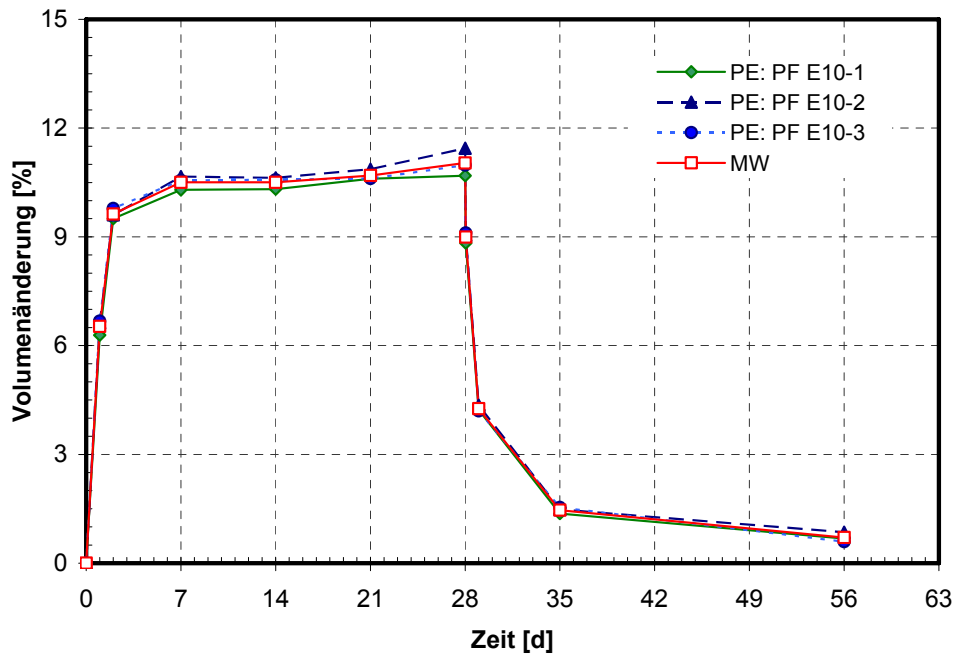


Bild 70: PE-HD Dichtungsbahn, Einlagerung in PF E10, Volumenänderung

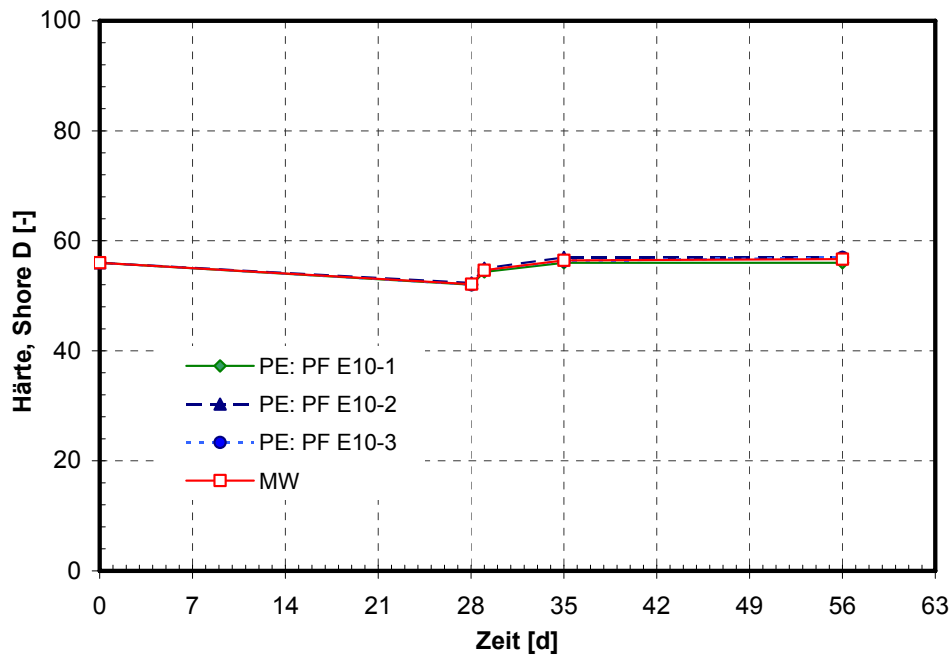


Bild 71: PE-HD Dichtungsbahn, Einlagerung in PF E10, Härteänderung (Shore-Einheiten)

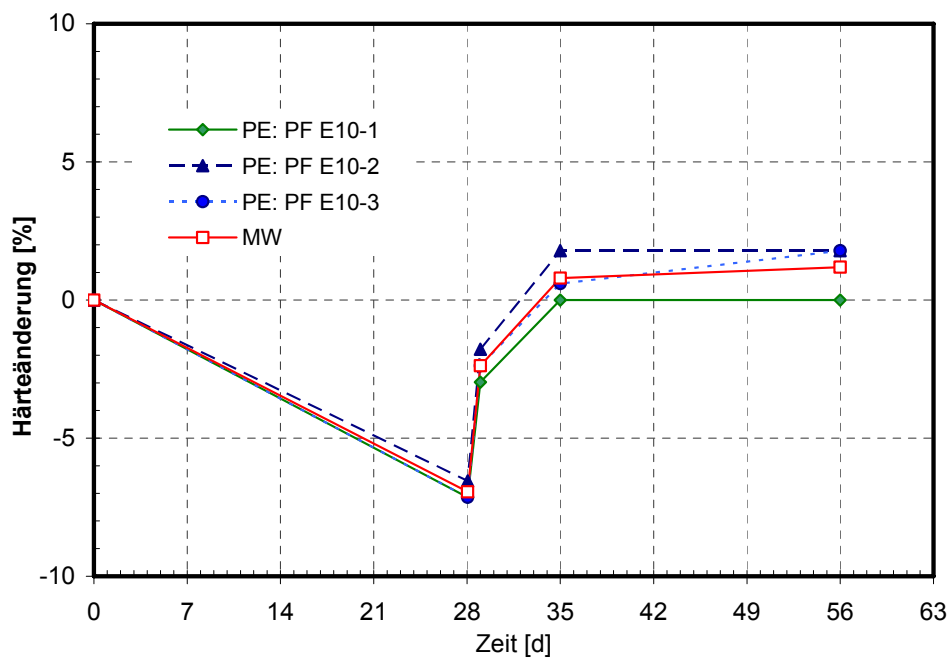


Bild 72: PE-HD Dichtungsbahn, Einlagerung in PF E10, Härteänderung, bezogen auf die bei 23 °C, 50 % r. F. gelagerte Probe